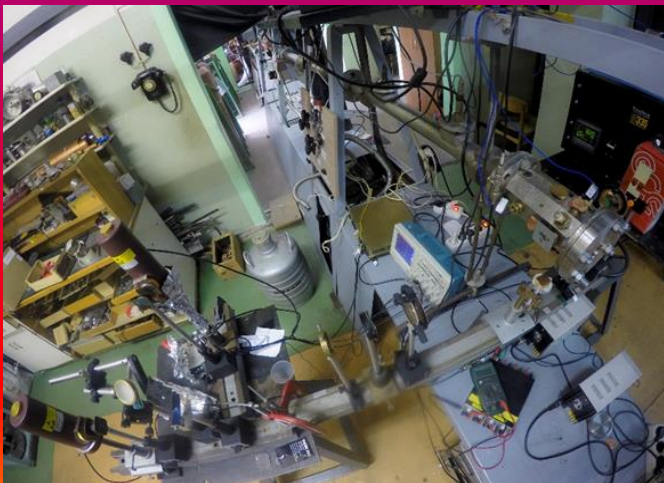


*Фундаментальные
работы В.Е. Фортова
в физике плазмы*

Сон Э.Е.

*(по материалам лекции
В.Е. Фортова в МФТИ в 2012 г.)*

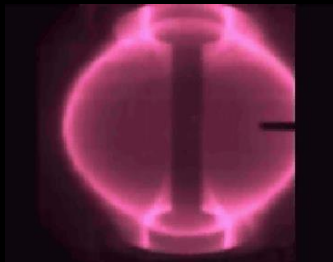


ПЛАЗМА В ПРИРОДЕ И ТЕХНИКЕ

Солнце



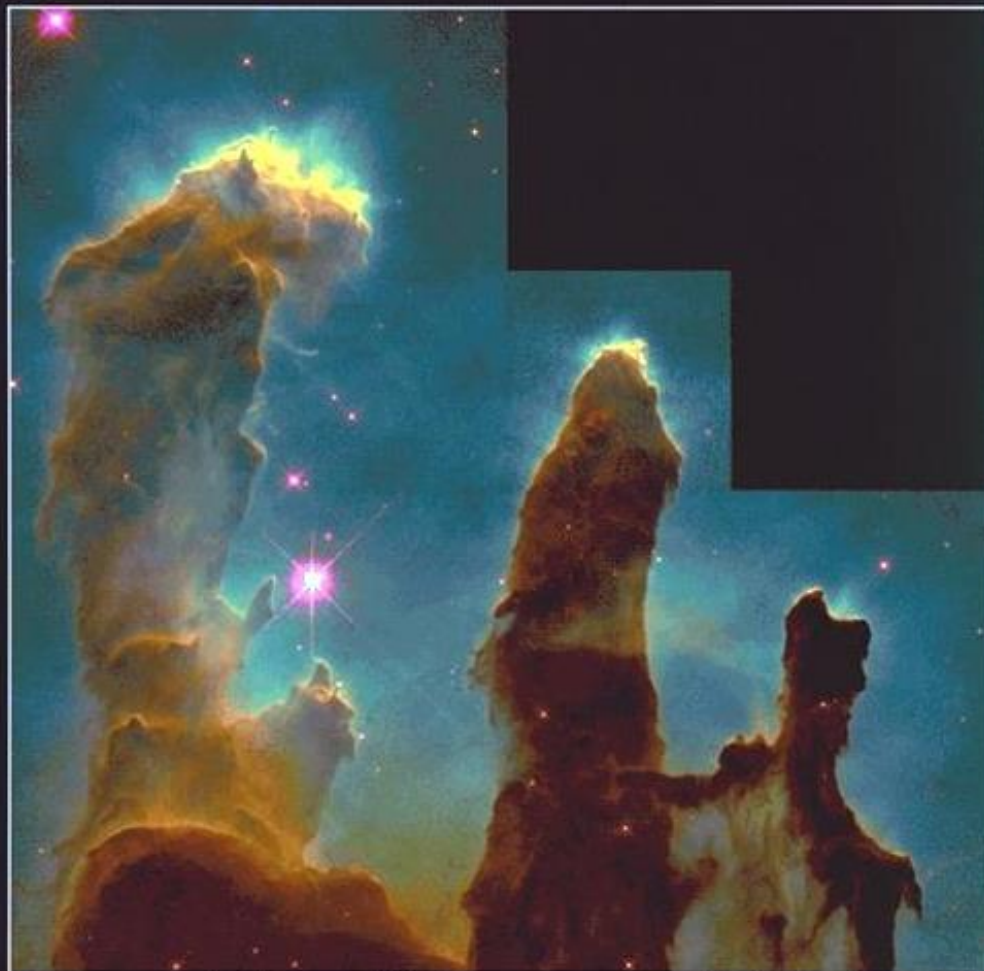
Термояд



Свет



Пылевые туманности



Gaseous Pillars · M16

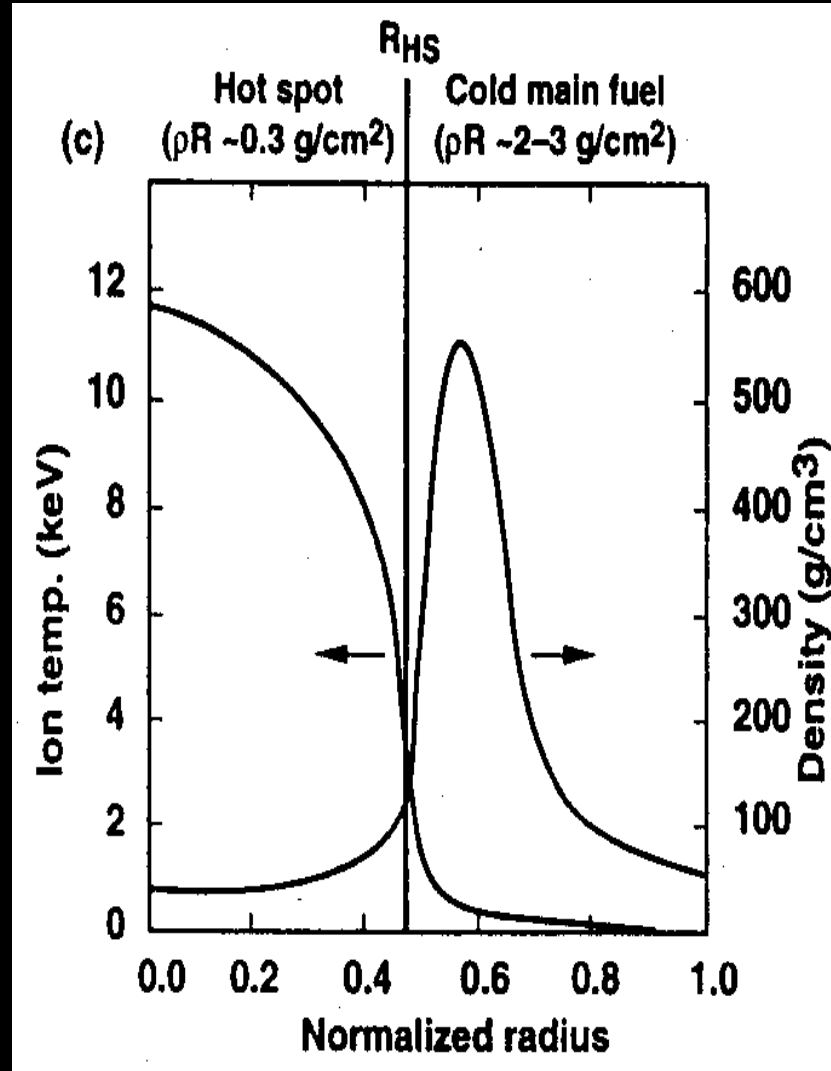
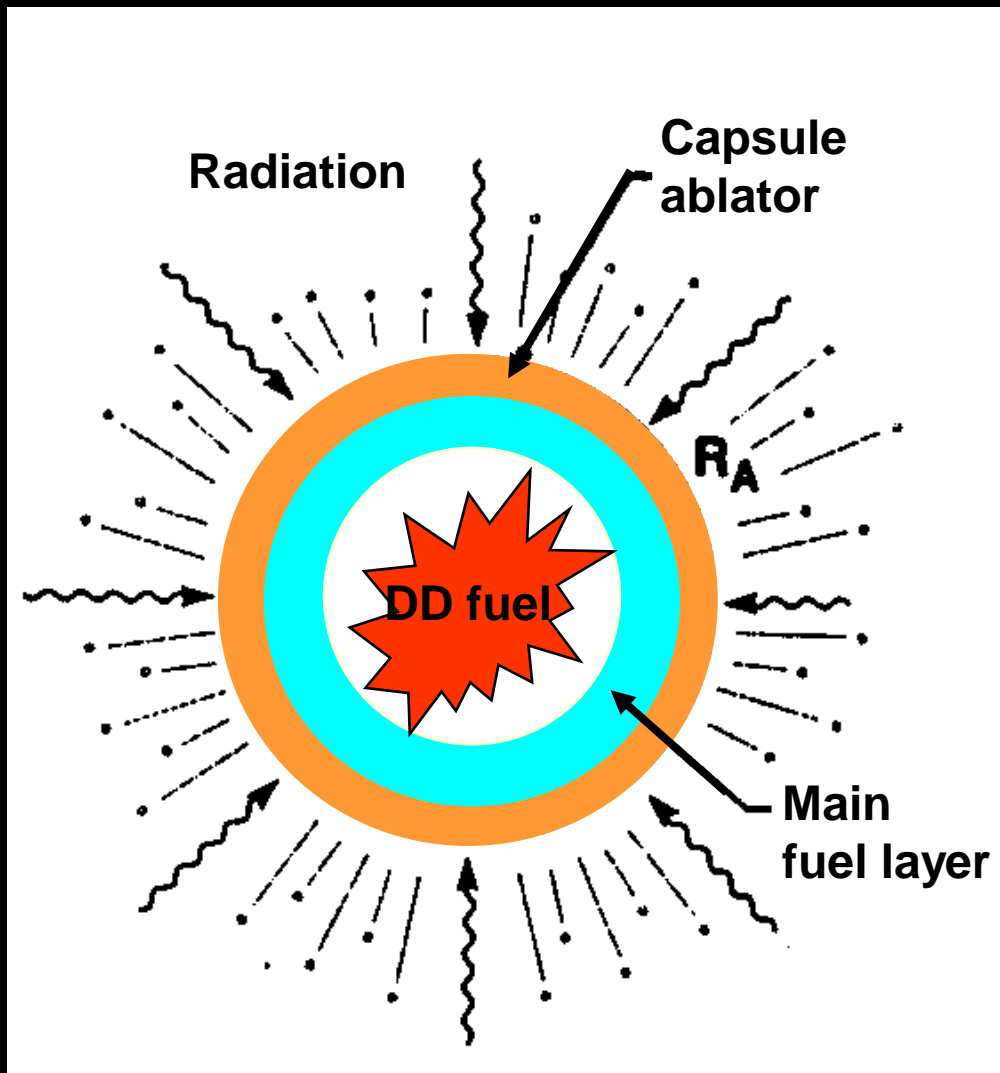
HST · WFPC2

PRC95-44a · ST ScI OPO · November 2, 1995
J. Hester and P. Scowen (AZ State Univ.), NASA

000000 9-MAV-1996 10:06:04 V1P5 в NASA ARC

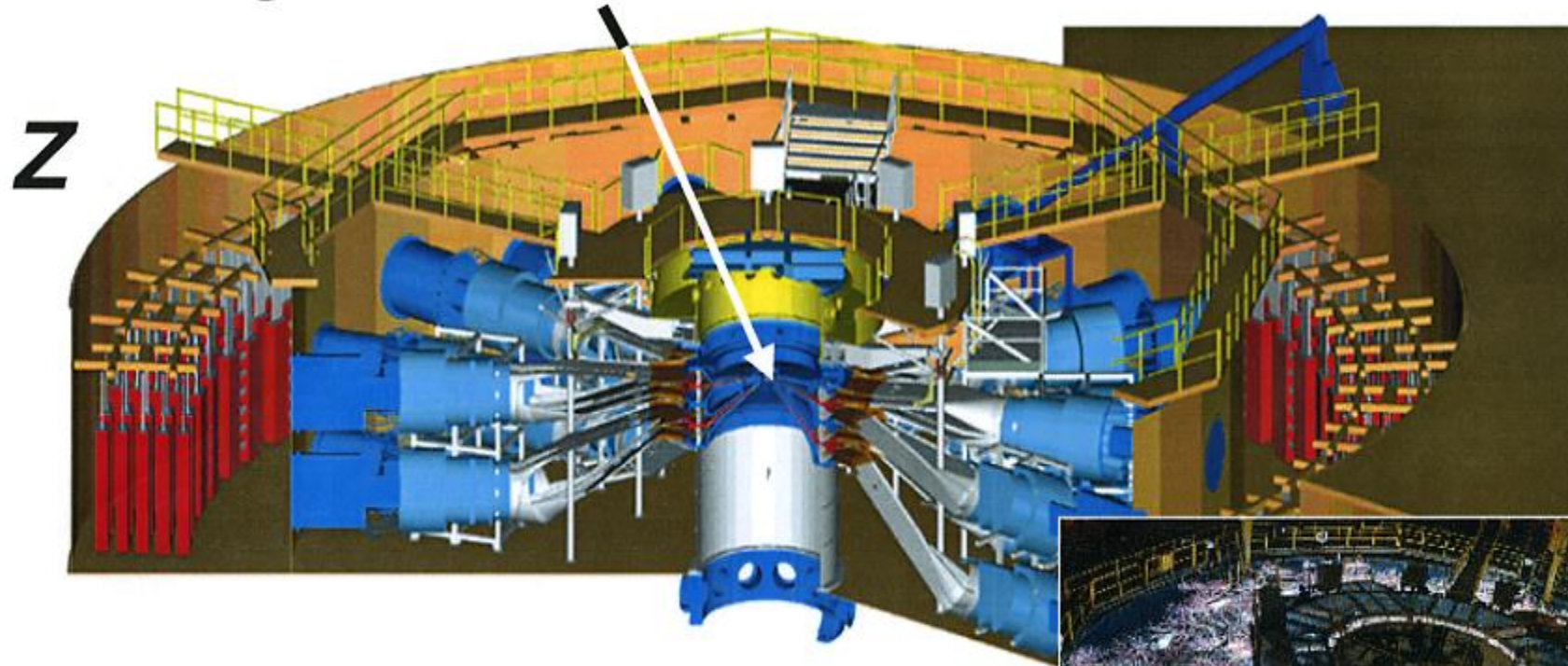
16-030111 46 2/8 22 0

ИНЕРЦИОННЫЙ ТЕРМОЯДЕРНЫЙ СИНТЕЗ



PULSED-POWER ACCELERATORS WITH Z-PINCH LOADS PROVIDE EFFICIENT TIME COMPRESSION AND POWER AMPLIFICATION

Target Chamber



**11.5 MJ stored energy
19 MA peak load current
40 TW electrical power to load
100-250 TW x-ray power
1-1.8 MJ x-ray energy**

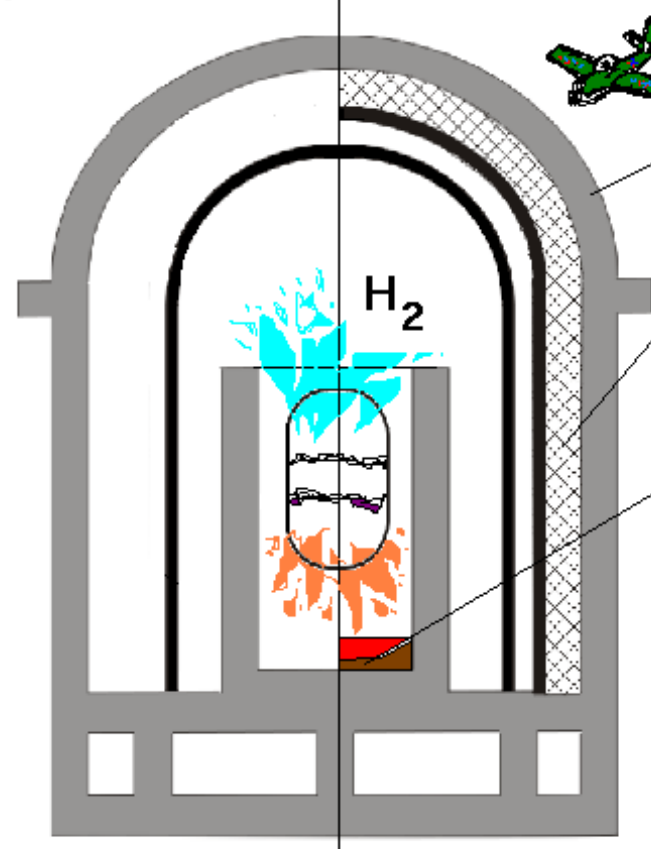


ВЗРЫВОСТОЙКИЙ КОНТЕЙНЕР С ЛОВУШКОЙ

Взрывостойкость: взрыв 2т. водорода, паровой взрыв 1т. ТНТ

Существующий вариант

Предлагаемый вариант



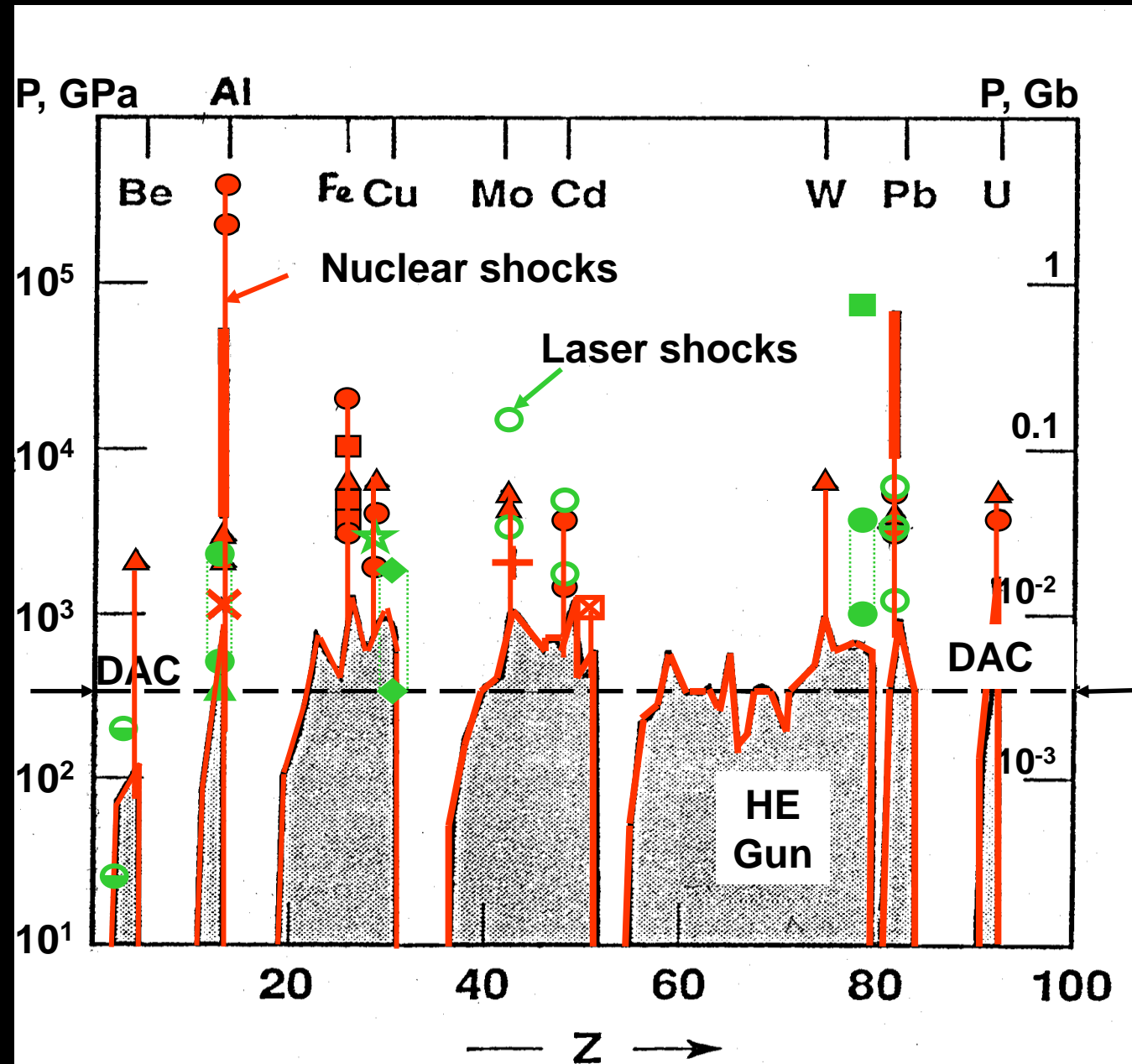
Железобетонная оболочка.
Прочность при взрыве, ударе.

Демпфер из пористого огнеупора.
Энергопоглощение

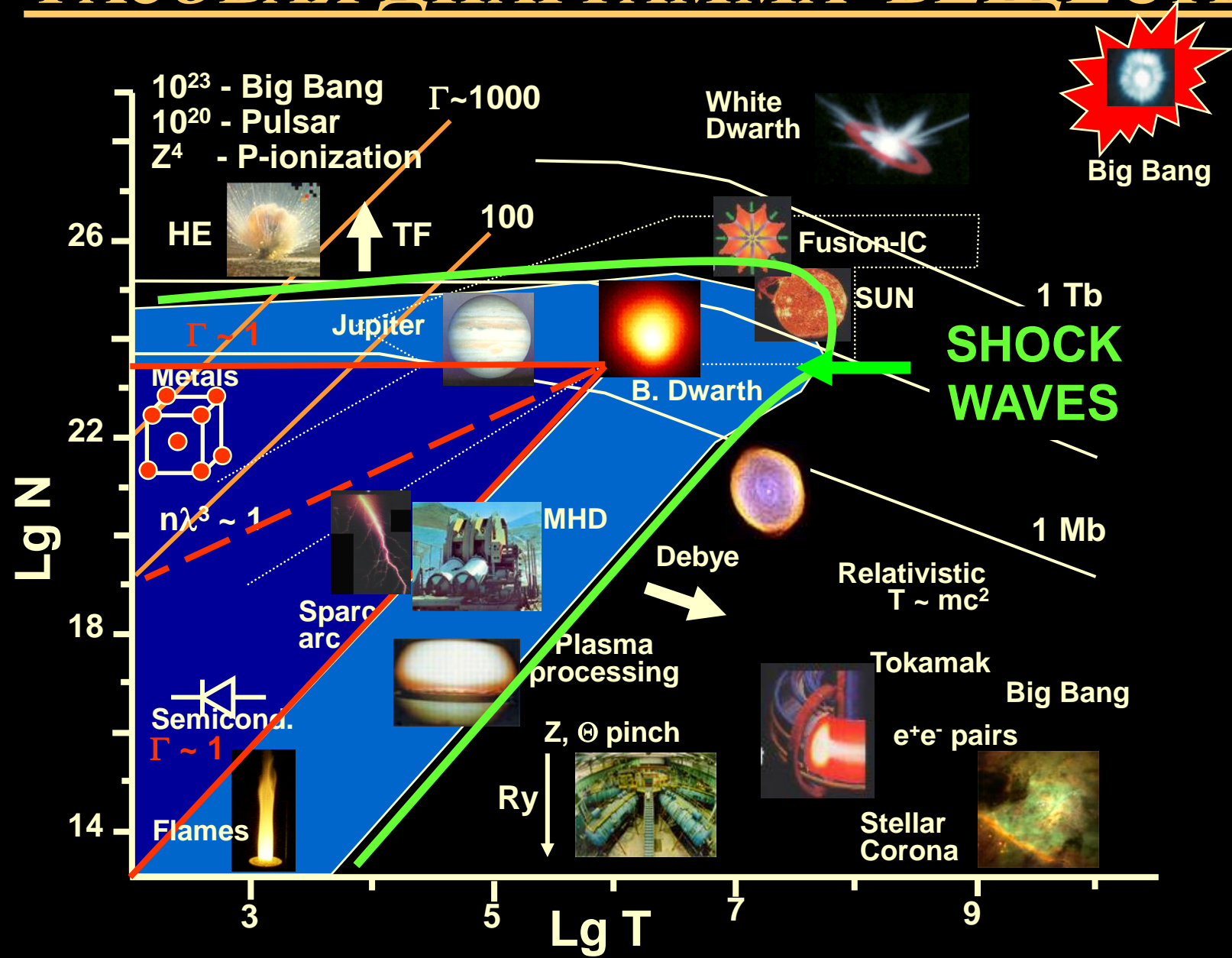
Ловушка с ZrO₂ покрытием.
Стойкость к расплаву и паровому взрыву.

Ловушка - удержание 2000т.
расплава с температурой 2800К.

МАКСИМАЛЬНЫЕ ДАВЛЕНИЯ



ФАЗОВАЯ ДИАГРАММА ВЕЩЕСТВА

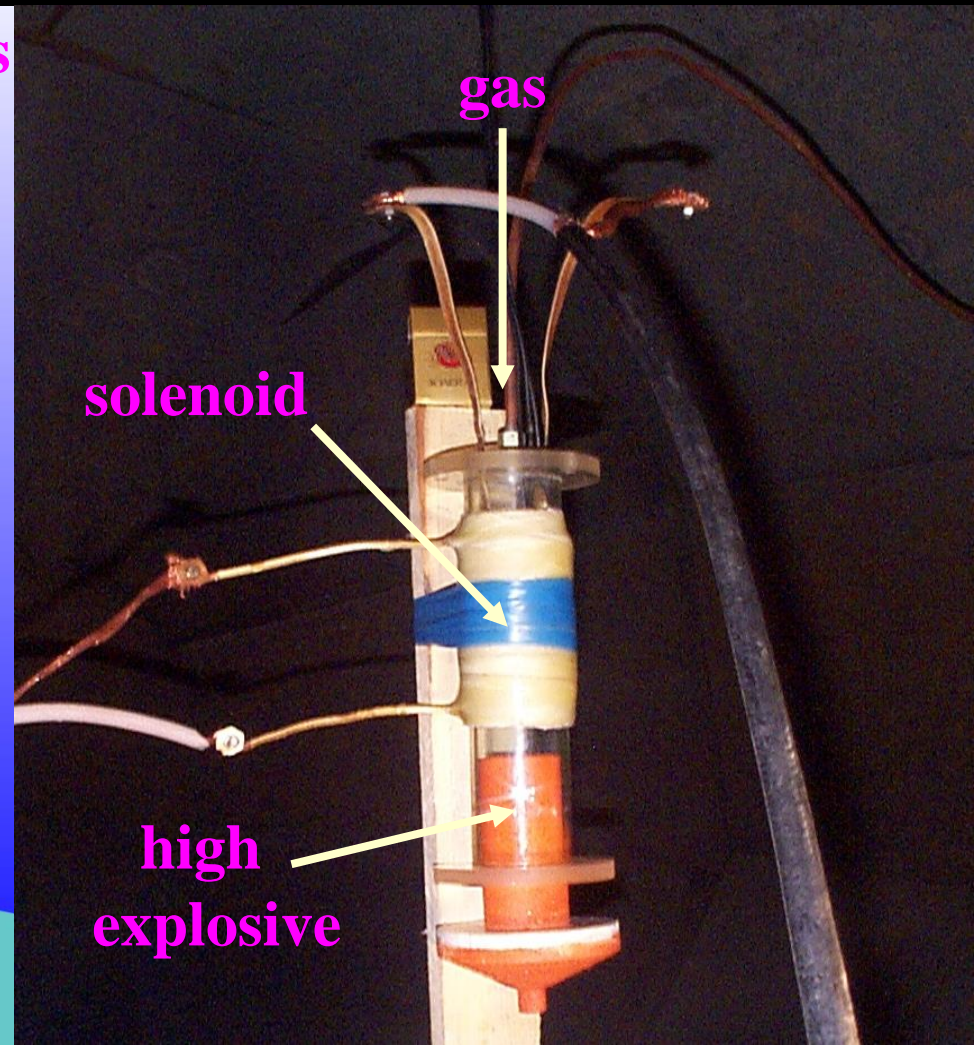
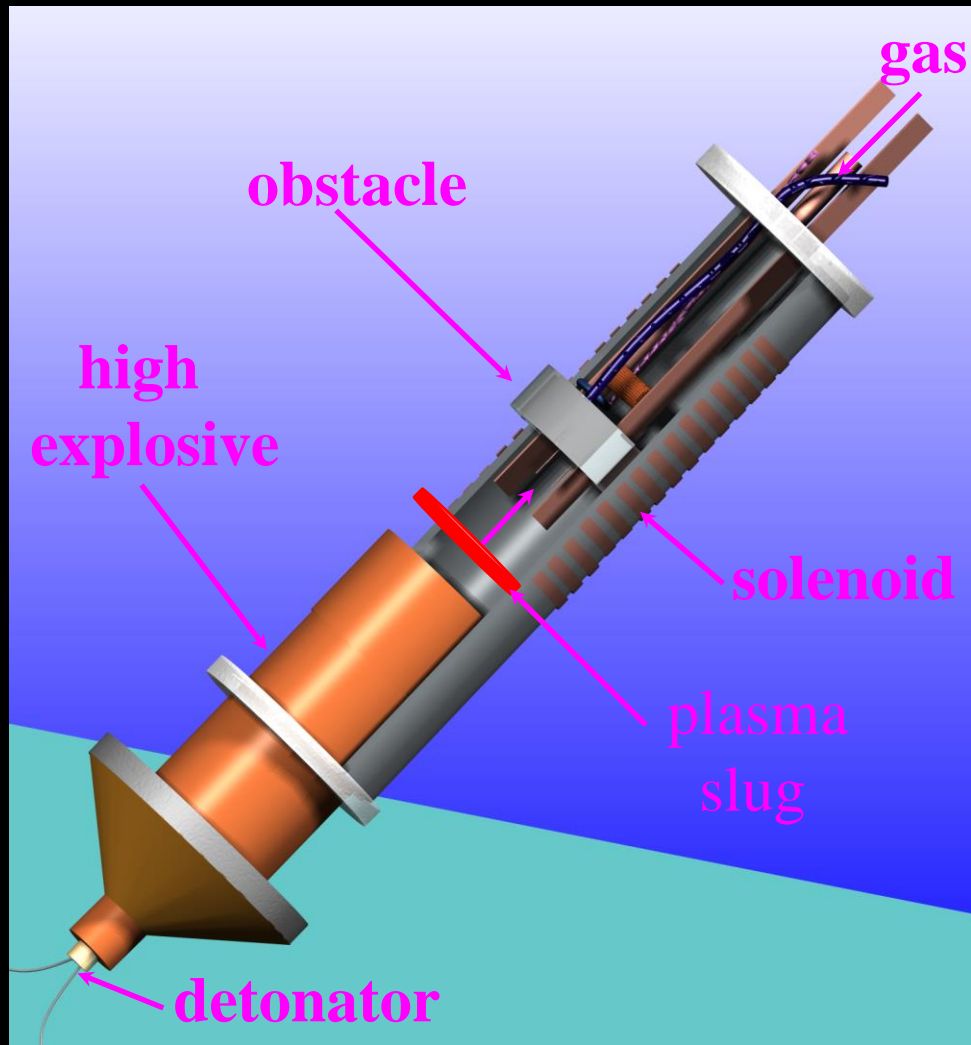


HE PLASMA GENERATOR

Plasma parameters:

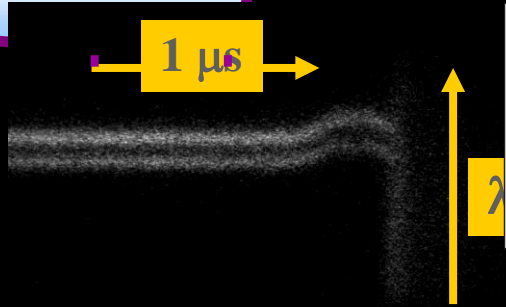
$P=0,3-6,5$ kbar $T\sim 0.5-1.5$ eV $n_e=5 \cdot 10^{15}-3 \cdot 10^{20}$ sm⁻³ $\sigma=0.1-250$ Ω^{-1} sm⁻¹

Gases: Ar, Xe, He

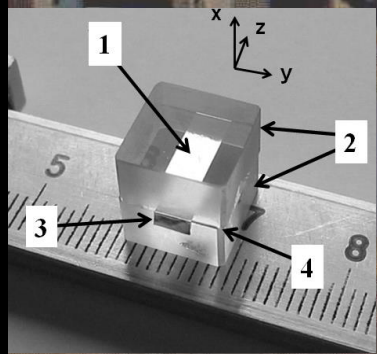
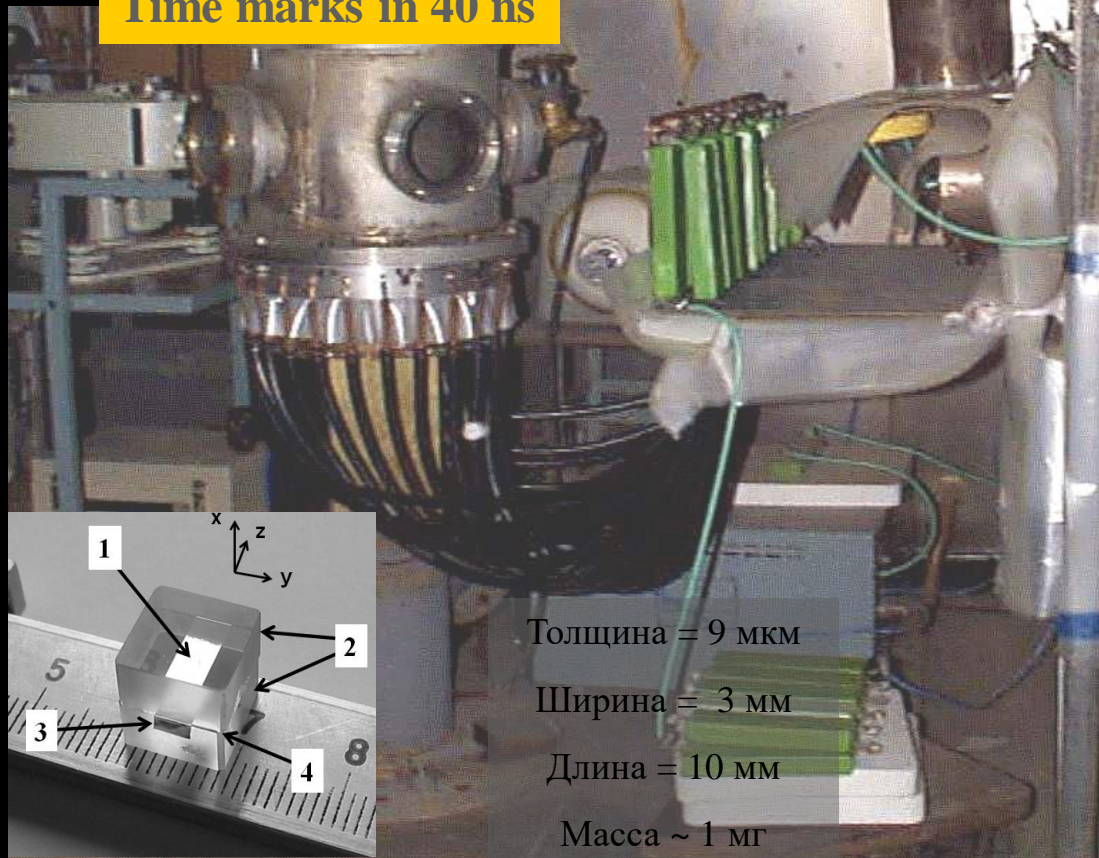
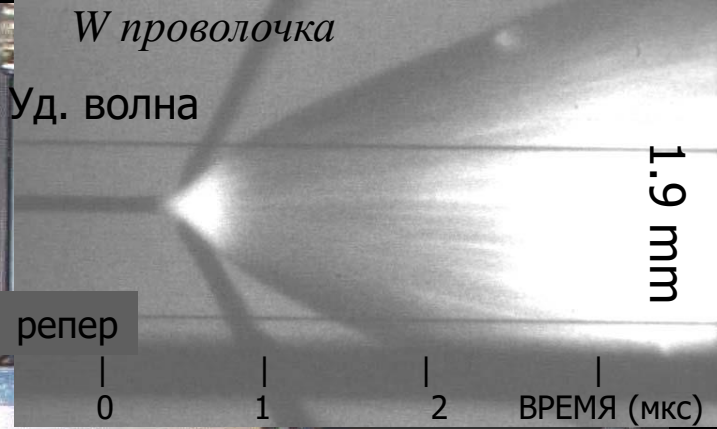




ЭЛЕКТРОВЗРЫВ ПРОВОДНИКОВ



Time marks in 40 ns



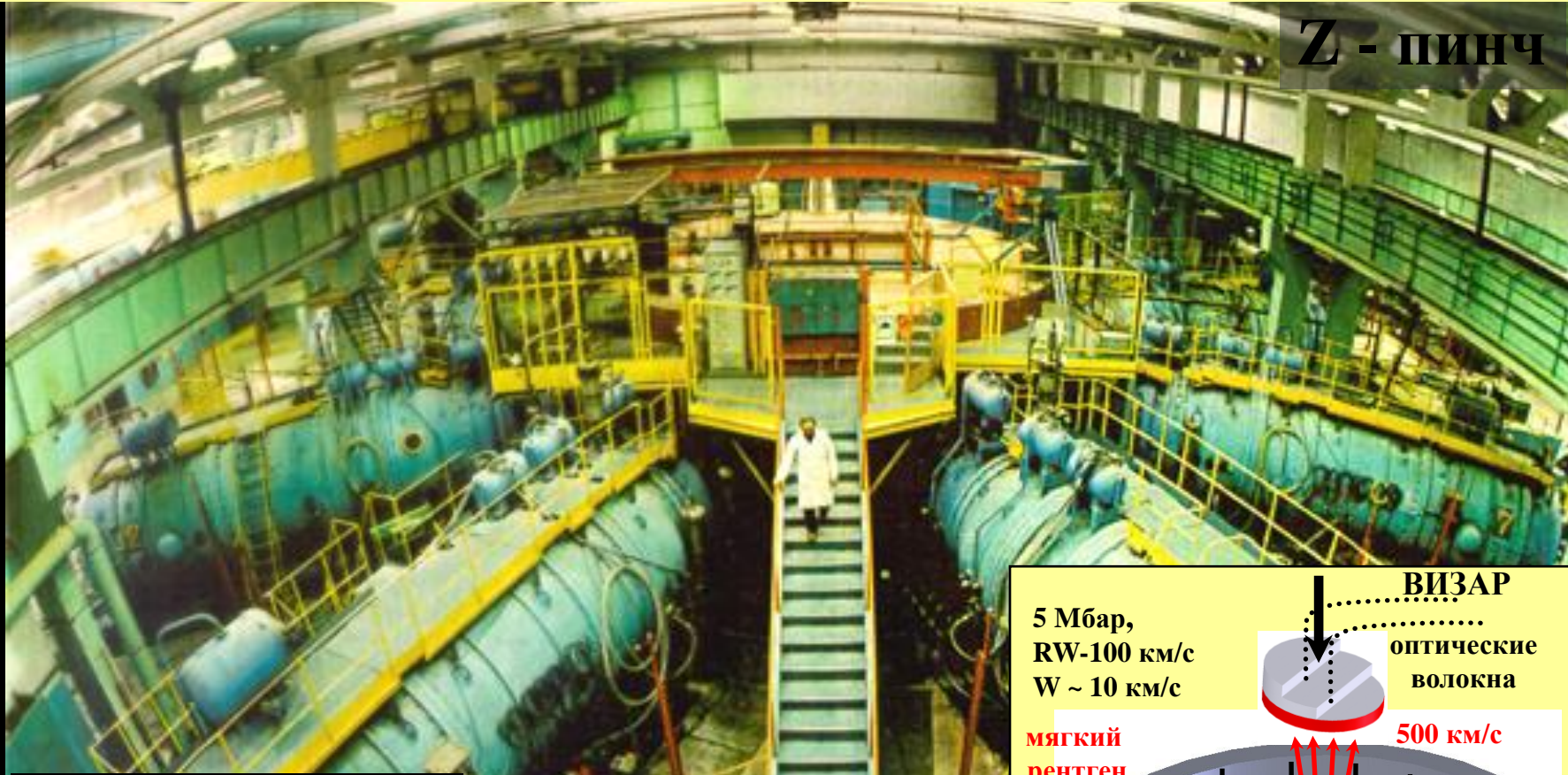
Толщина = 9 мкм
Ширина = 3 мм
Длина = 10 мм
Масса ~ 1 мг

ППФ
Ландау, Зельдович

Запасенная энергия 20 кДж, ток до 500 кА

А.Савватимский, А.Рахель, А.Коробенко и др

ИМПУЛЬСНЫЙ ГЕНЕРАТОР АНГАРА-5



Z - пинч

Z-PINCH-DRIVEN FUSION

Double-ended hohlraum

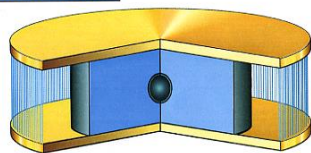


- Two 60 MA pinches
- 380 MJ yield

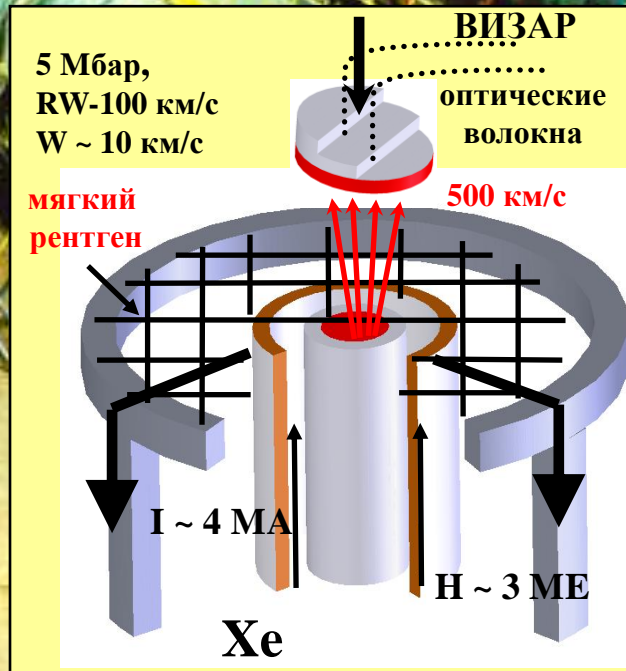
Key issues

- hohlraum energetics
- radiation symmetry
- pulseshaping
- preheat
- capsule implosions

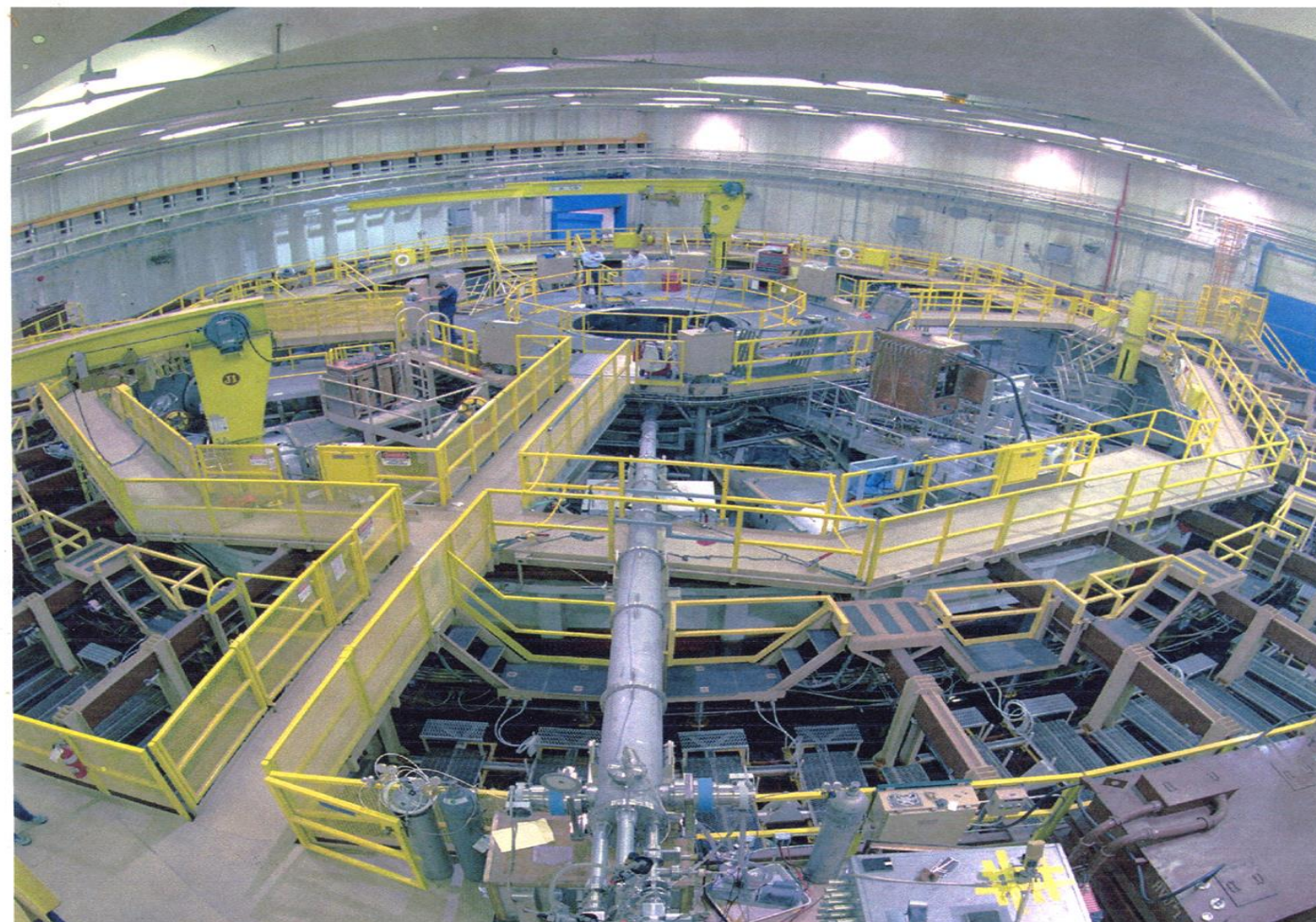
Dynamic hohlraum



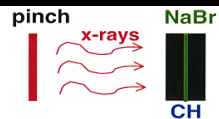
- 54 MA pinch
- 530 MJ yield



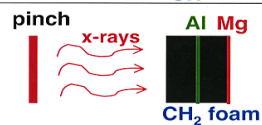
В.П.СМИРНОВ
ТРИНИТИ



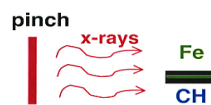
RADIATION SCIENCE



- Opacity Measurements**
- Na acts as a "thermometer"
 - Measure open M-shell Br opacity under known T_e , n_e conditions
 - J. E. Bailey et al., submitted to JQSRT (Jan. 2002)



- Radiative Transfer Experiments**
- Al and Mg provide $T_e(x, t)$
 - Infer radiation propagation through foam sample
 - G. A. Rochau et al., Proceedings HTPD (2002)



- Photoionization Measurements**
- Fe ionization states probed by absorption and emission lines
 - Infer photoionization in Fe
 - R. F. Heeter et al., Rev. Sci. Instr. 72, 1224 (2001)
 - R. F. Heeter et al., Proceedings ADNXA (2000)

Z-PINCH-DRIVEN FUSION

Double-ended hohlraum

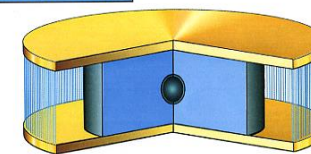


- Two 60 MA pinches
- 380 MJ yield

Key issues

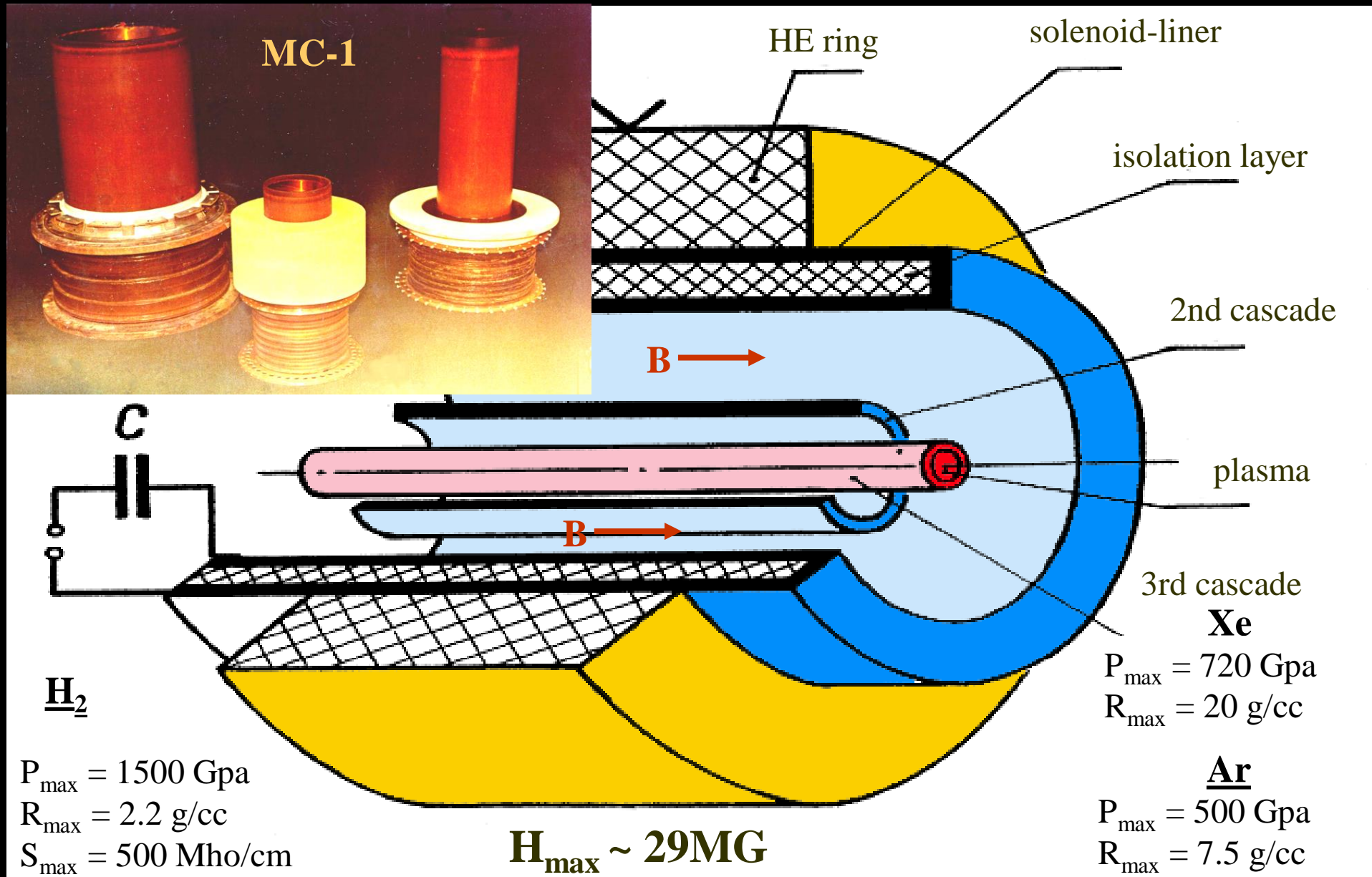
- hohlraum energetics
- radiation symmetry
- pulseshaping
- preheat
- capsule implosions

Dynamic hohlraum

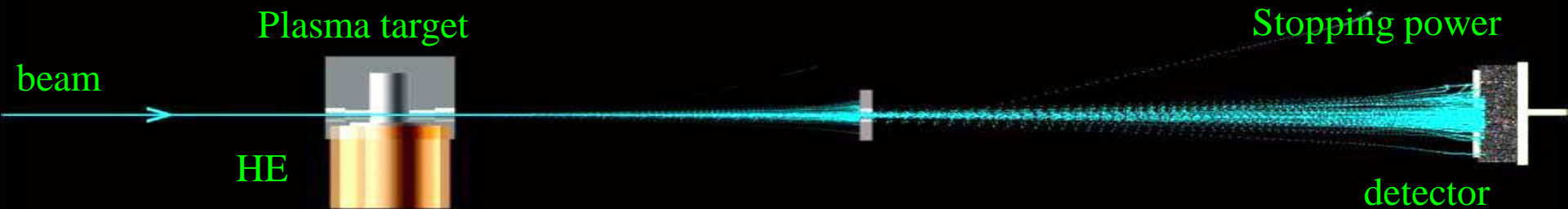
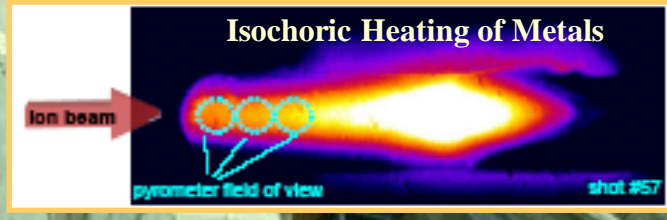
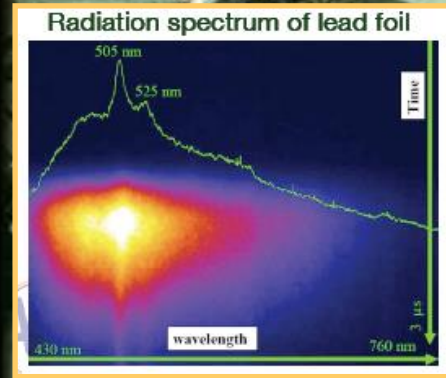
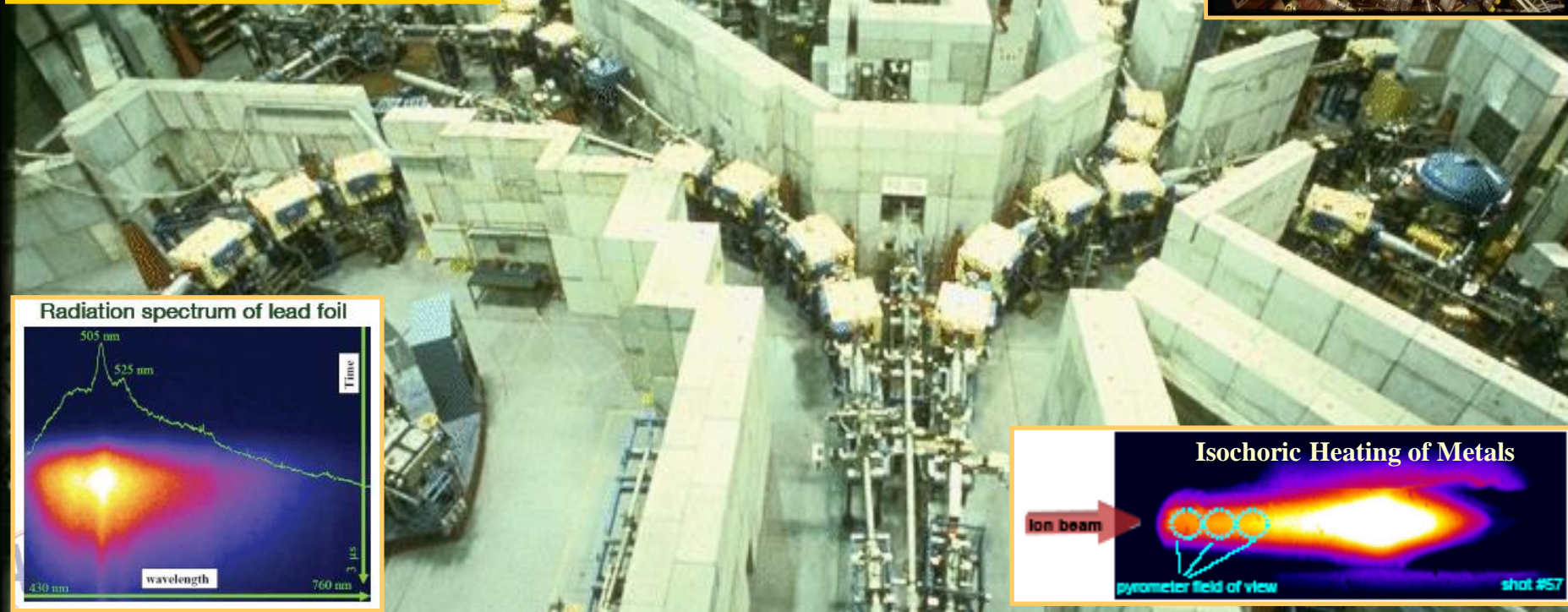
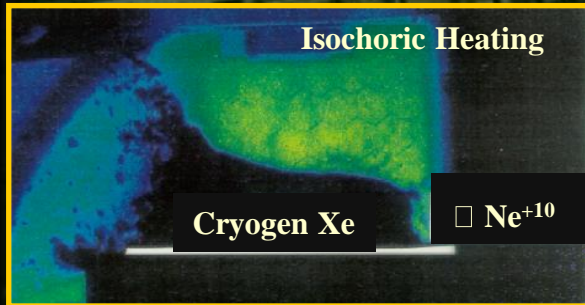


- 54 MA pinch
- 530 MJ yield

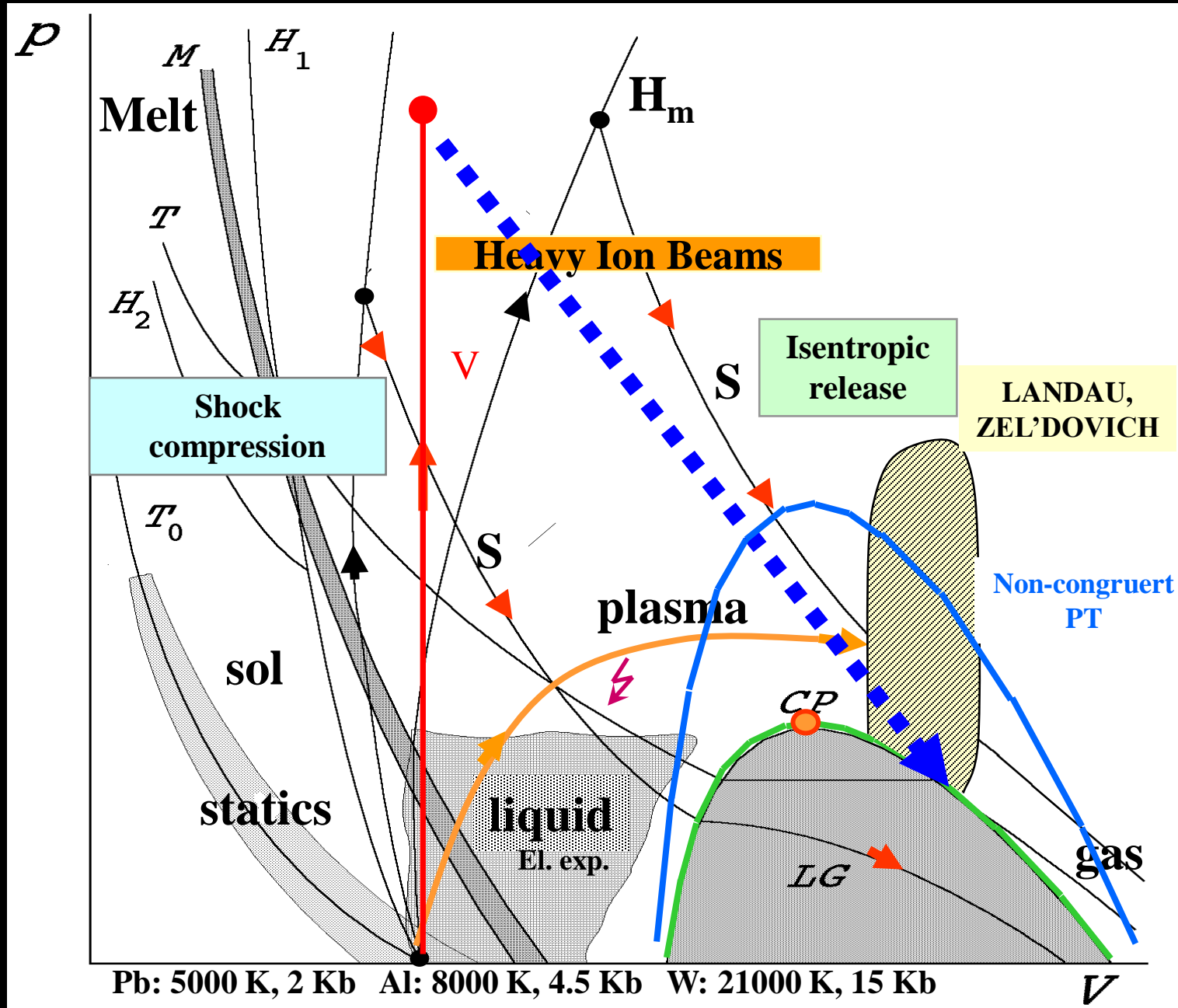
ИЗОЭНТРОПИЧЕСКОЕ СЖАТИЕ СИЛЬНЫМ МАГНИТНЫМ ПОЛЕМ



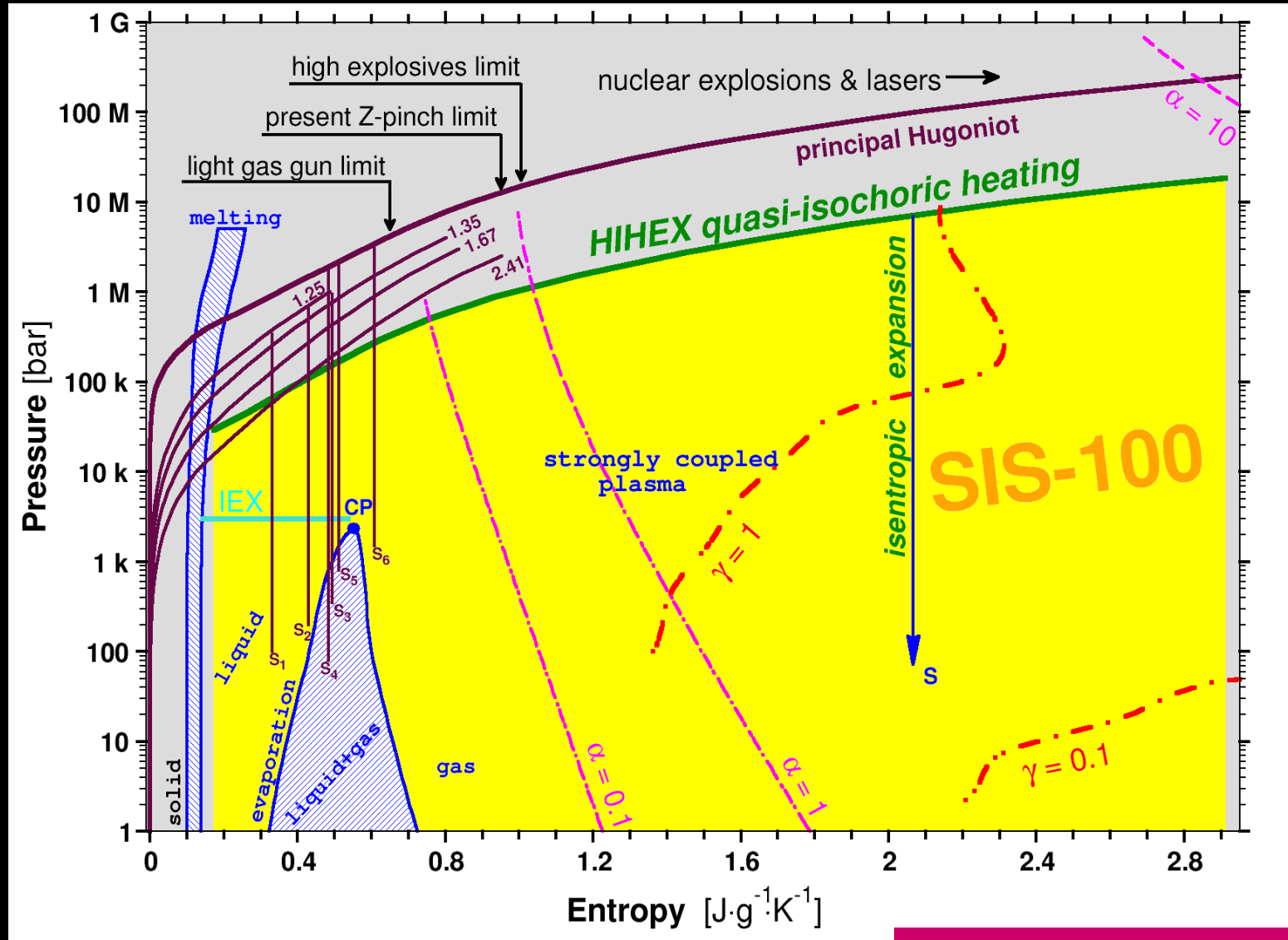
Релятивистские ионные пучки



SHOCK COMPRESSION+ISOENTROPIC EXPANSION



“TERRA INCOGNITA” OF THE PHASE DIAGRAM AT FAIR



FAIR WILL OPEN A NEW ROUTE IN HEDP/WDM RESEARCH

• Intense heavy ion beams at FAIR provide unique capabilities for generating and studying HED states in matter:

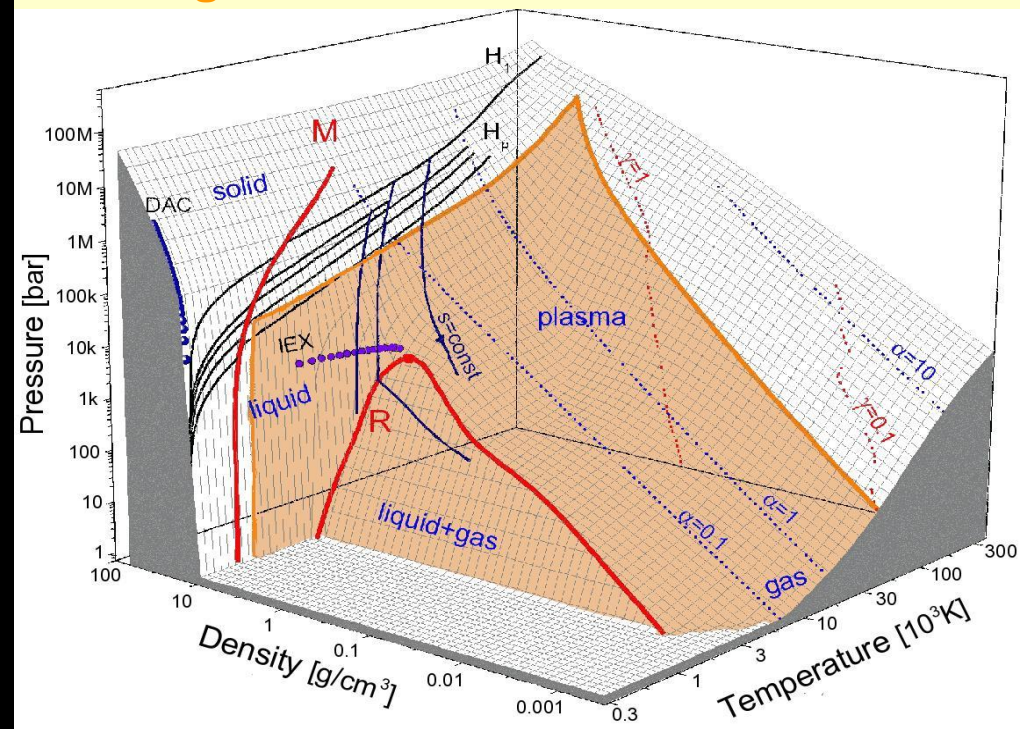
- SIS-100 intense beam can generate large volume (mm^3) homogeneous HED samples
- specific energy of 0.6 MJ/g and deposition power of 12 TW/g at high densities

- unique diagnostic tools: high-energy PW laser and SIS-18 ion beam (ion, proton or x-ray radiography, Thomson scattering)
- high rep. rate, any target material

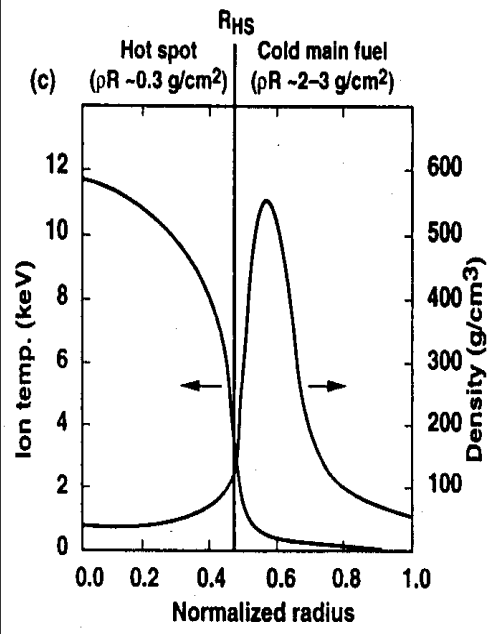
• Physics program – fundamental properties of matter under extreme conditions:

- Equation-of-state (EOS) of HED matter
- Phase transitions and exotic states of matter
- Transport and radiation properties of HED matter
- Stopping properties of non-ideal plasma

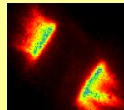
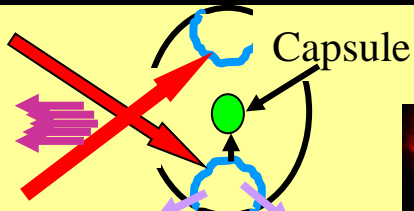
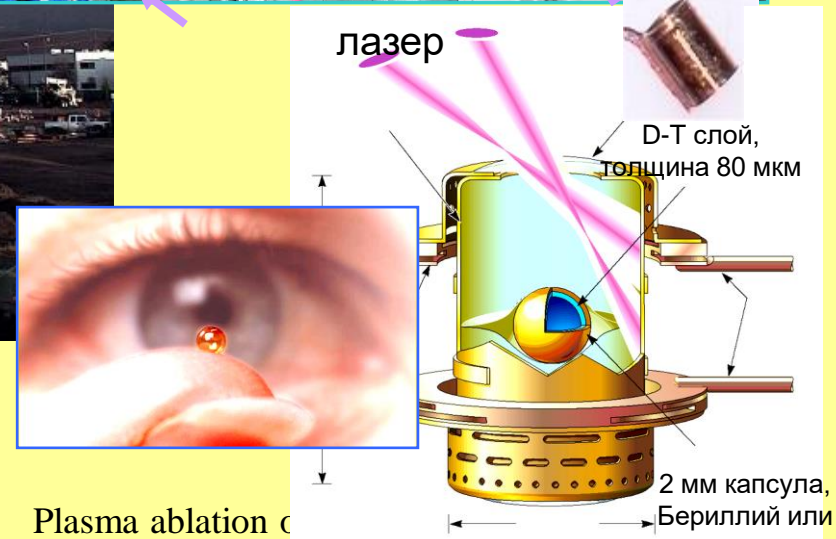
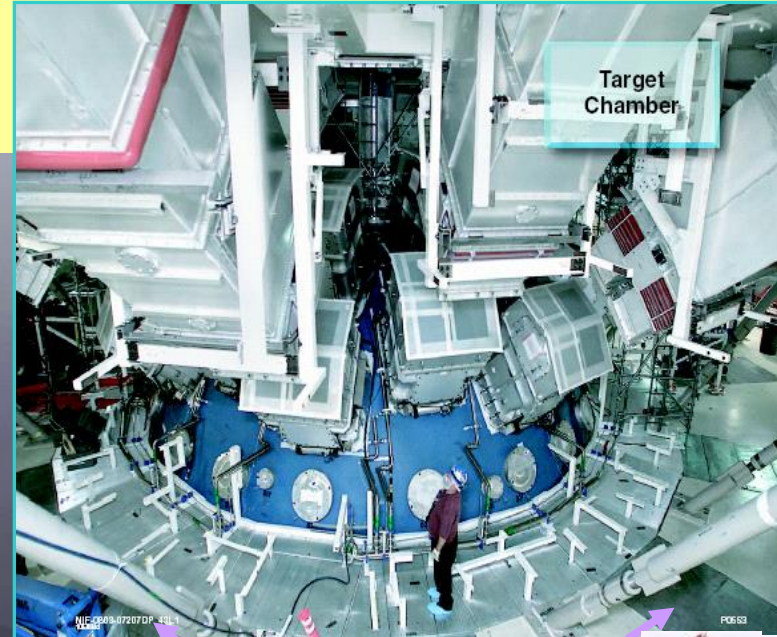
HED regions of Pb EOS accessible at FAIR



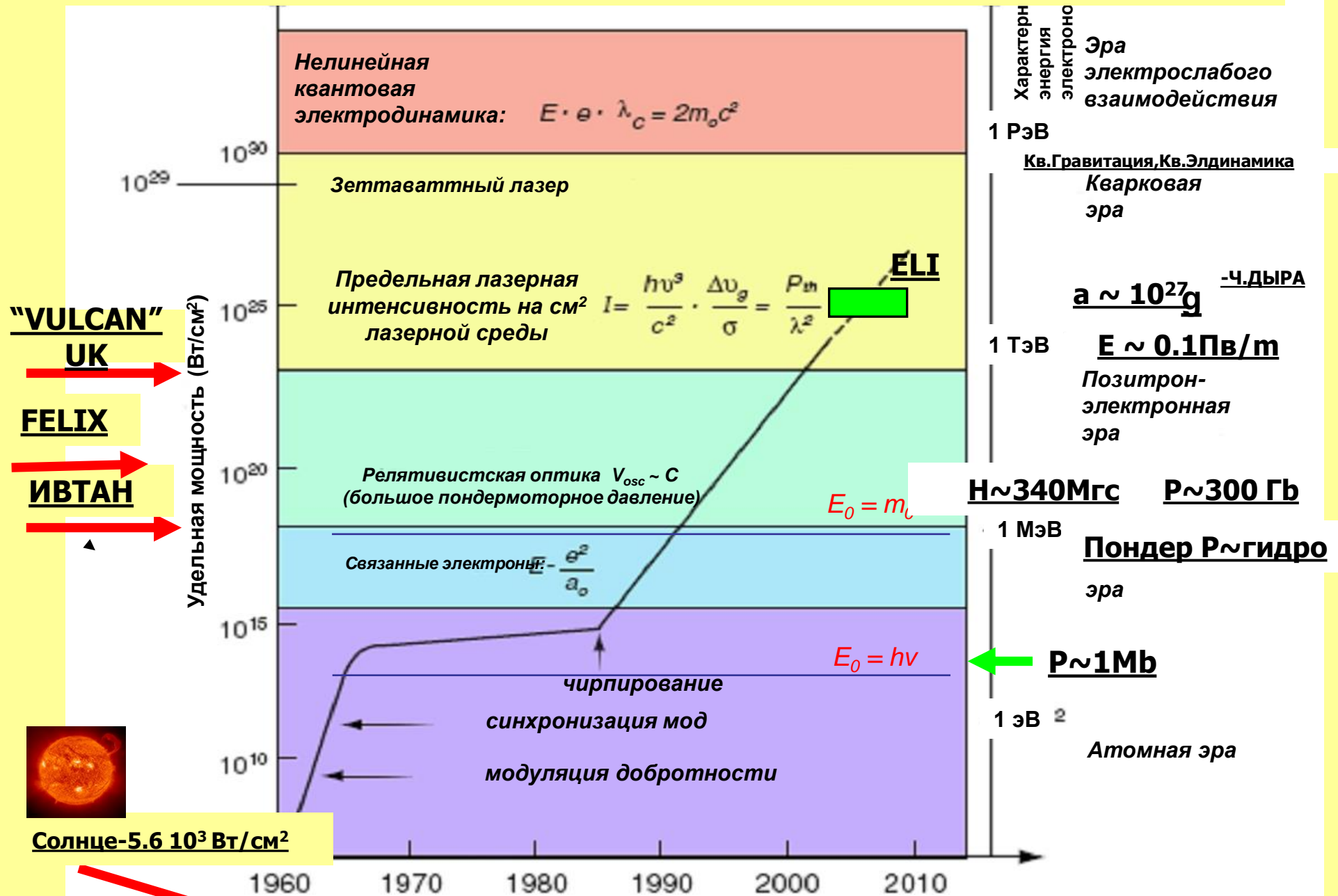
National Ignition Facility в Ливерморе



192 Beams
 $\sim 1.8 \text{ MJ}$ at 351nm

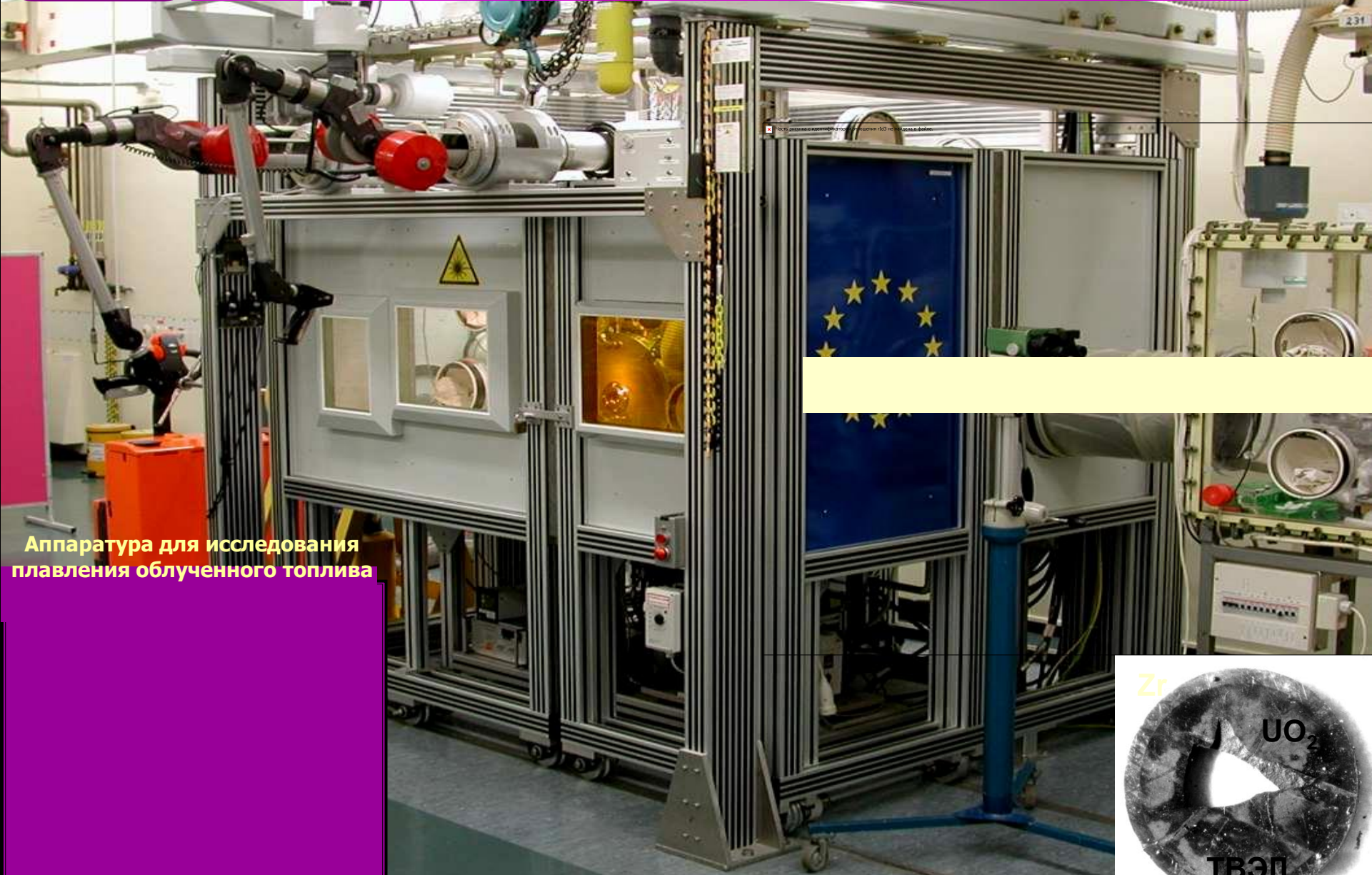


ИНТЕНСИВНОСТЬ ЛАЗЕРНОГО ИЗЛУЧЕНИЯ

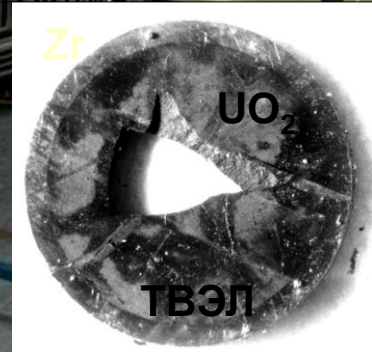




Измерение теплопроводности облученного реакторного топлива (метод лазерной вспышки)



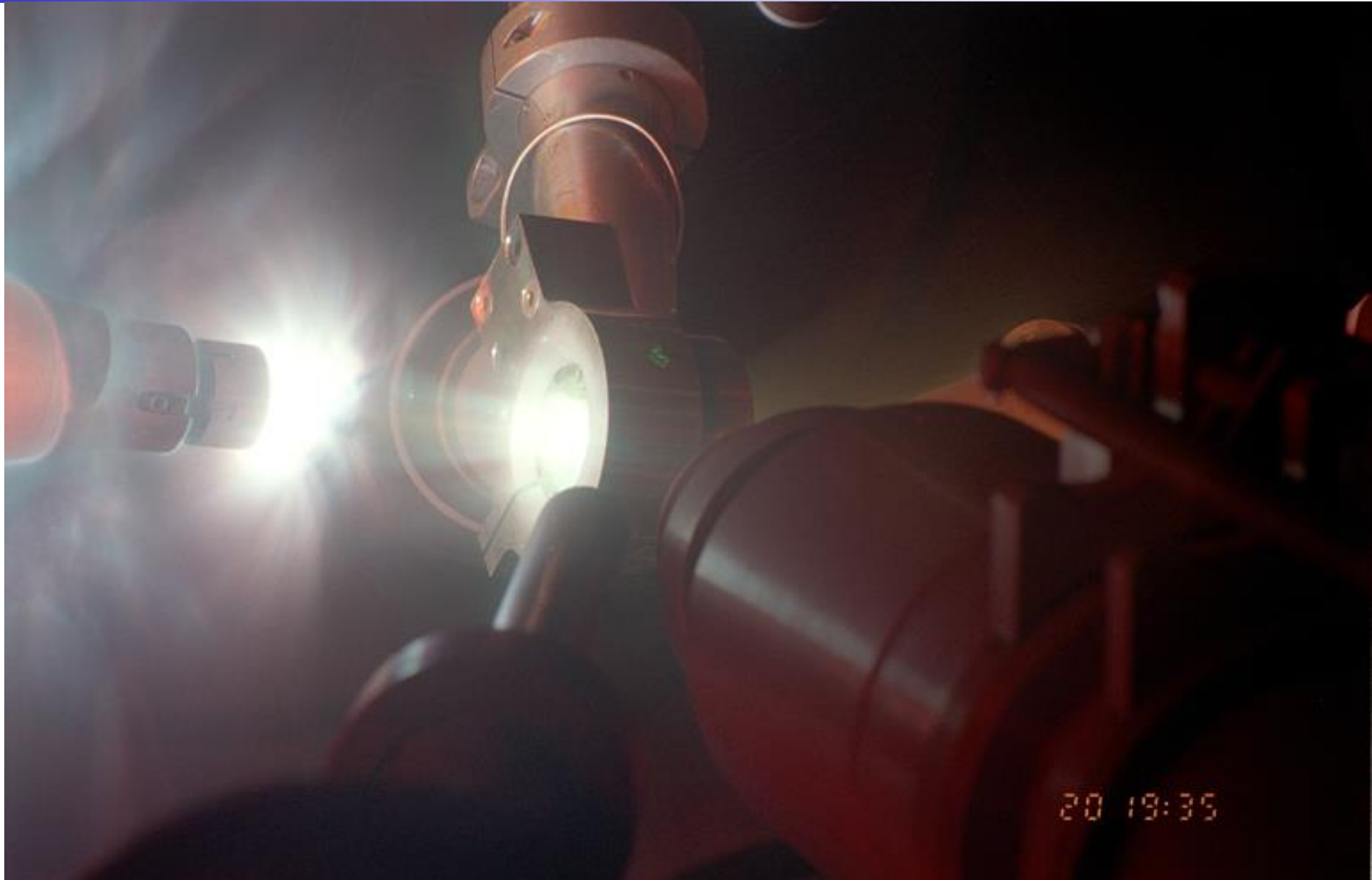
Аппаратура для исследования плавления облученного топлива

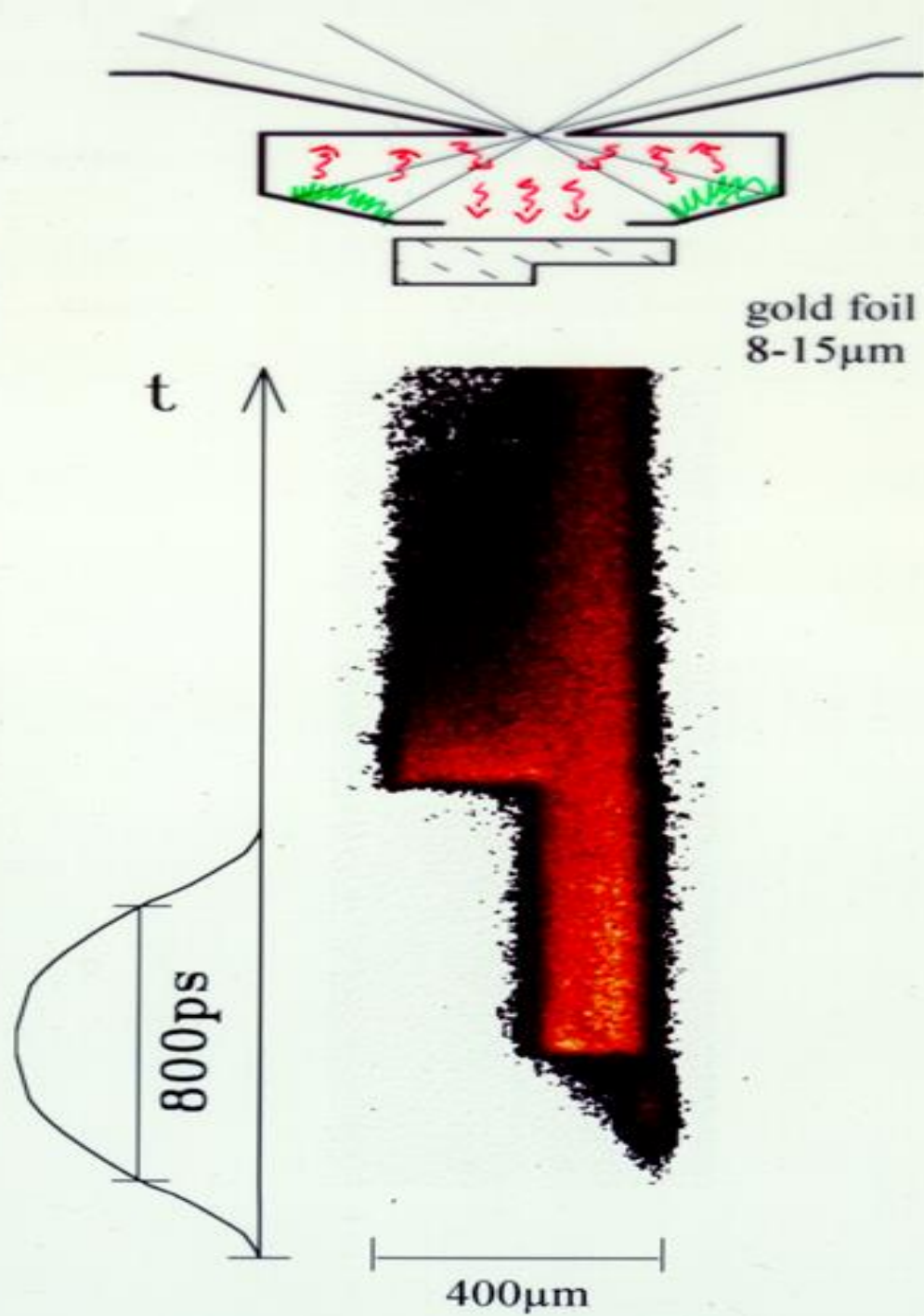


ЛАЗЕРНЫЕ УДАРНЫЕ ВОЛНЫ



Diamond anvil target being shot at the Omega laser facility





**“РЕНТГЕНОВСКИЕ”
УДАРНЫЕ
ВОЛНЫ**

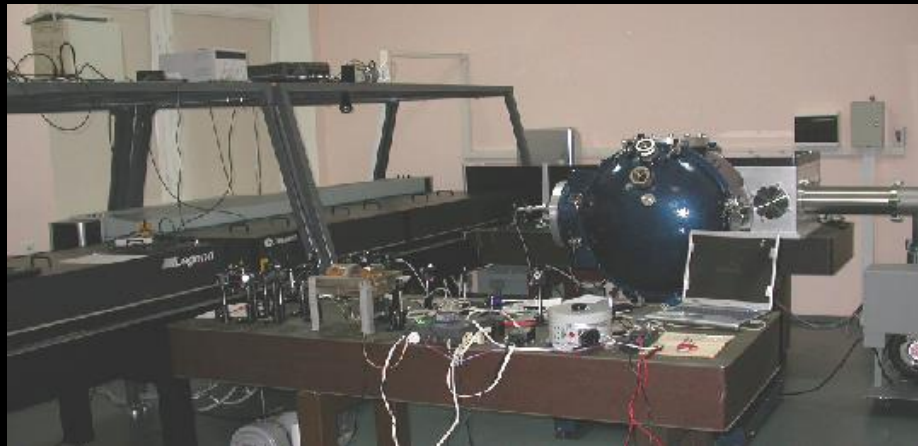
Terawatt femtosecond Cr- forsterite laser system
1240 nm; 80 fs; 90 mJ; 10 Hz
(made in Russia, has no analogues in the world)



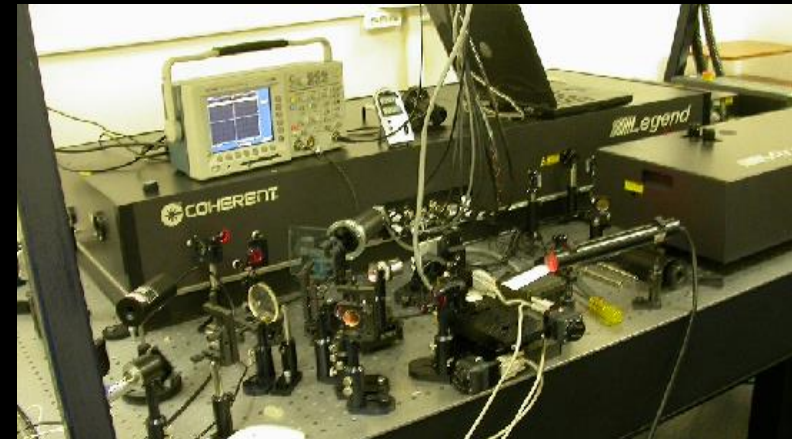
Femtosecond Cr- forsterite laser technological system
1240 nm; 80 fs; 1 mJ; 100 ÷ 1000 Hz



Femtosecond Terawatt Ti:Sapphire Laser System
800 nm; 40 fs; 10 Hz, to 10 TW



Femtosecond Kilohertz Ti:Sapphire Laser System
800 nm, 30 fs, 1 kHz, 2,5 mJ



Фемтосекундная тераваттная “хром – форстерит” лазерная система
инфракрасного диапазона спектра излучения
изготовлена на базе российских комплектующих изделий.

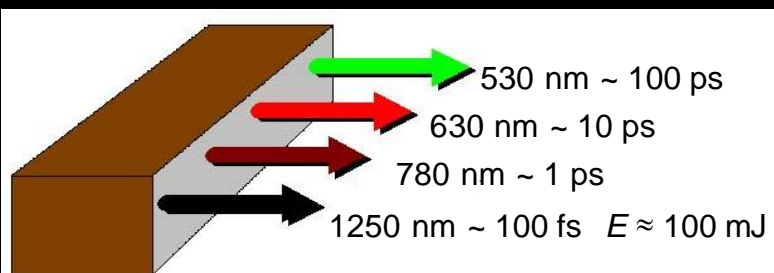


$\lambda = 1240 \text{ nm}$

$\tau \approx 80 \text{ fs}$

$E \approx 90 \text{ mJ}$

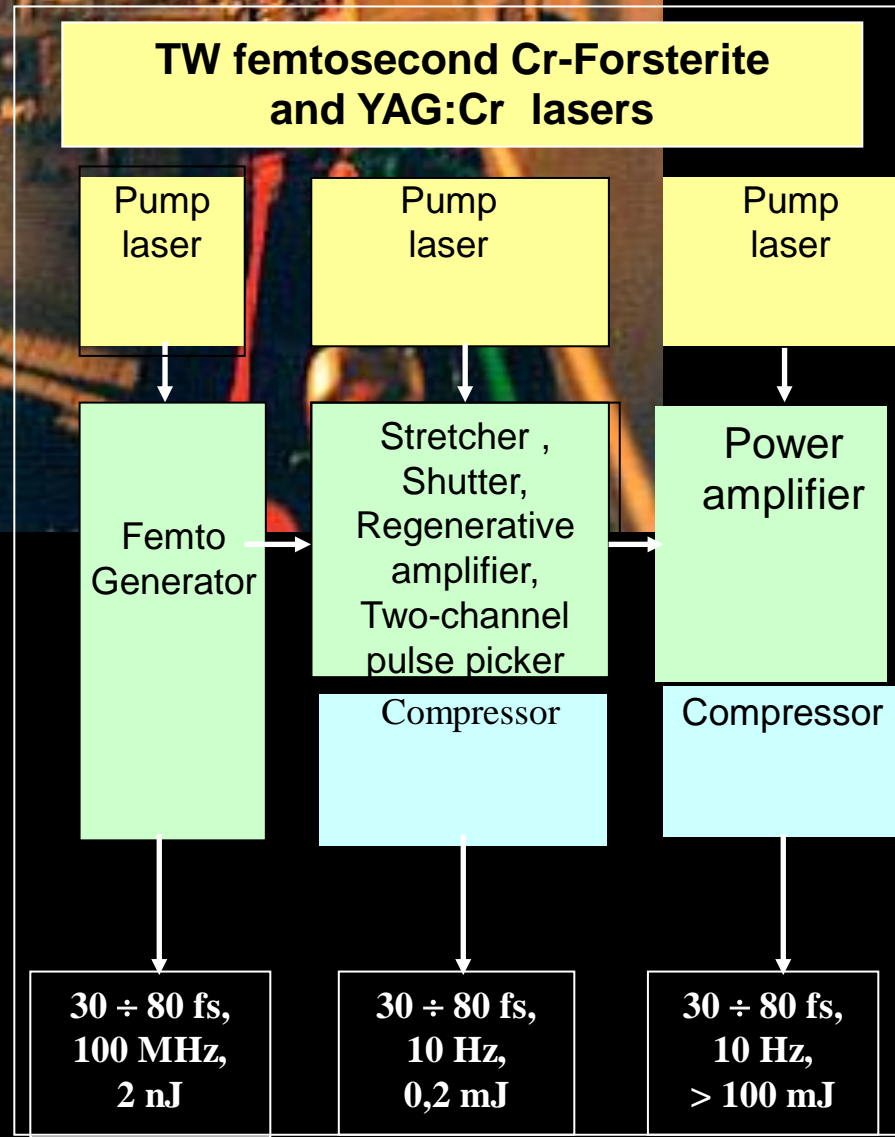
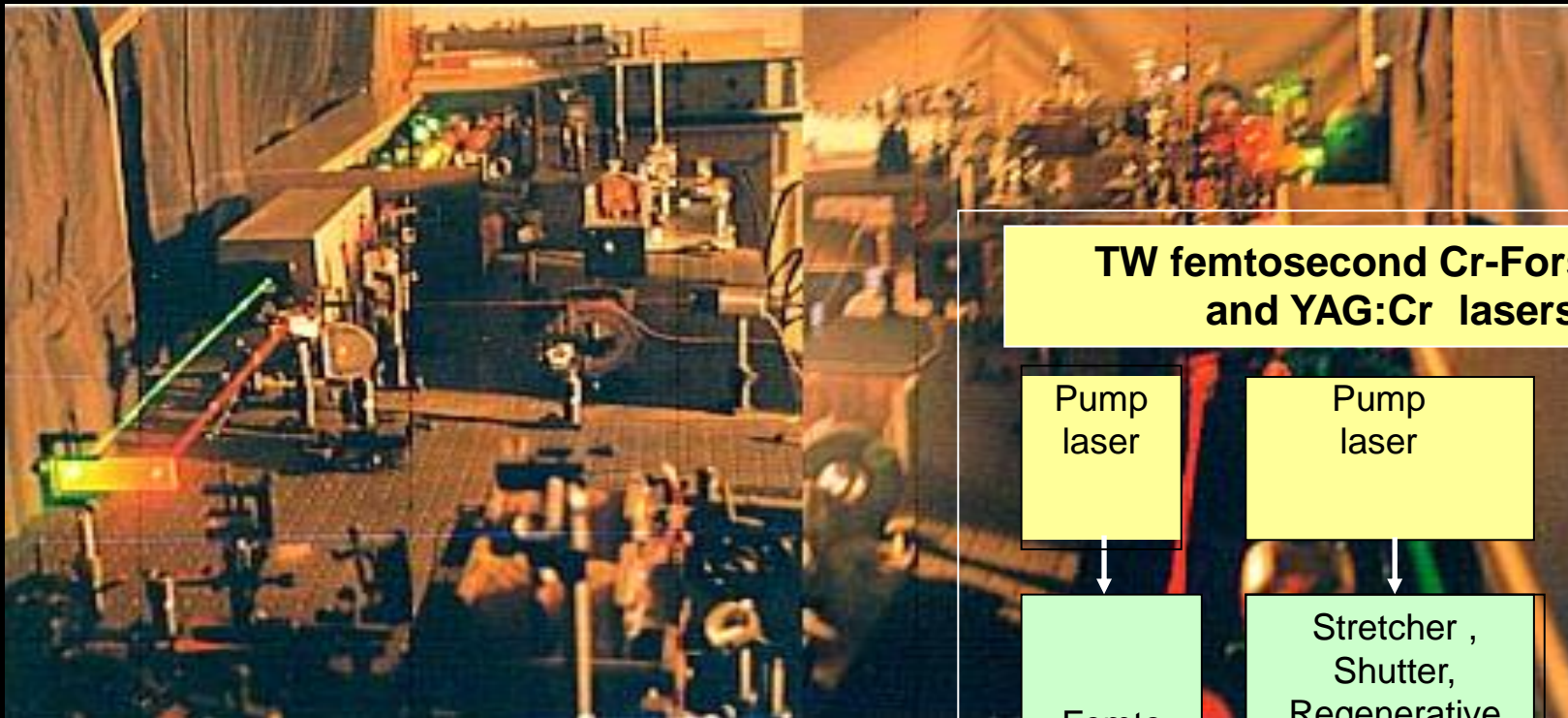
$F = 10 \text{ Hz}$



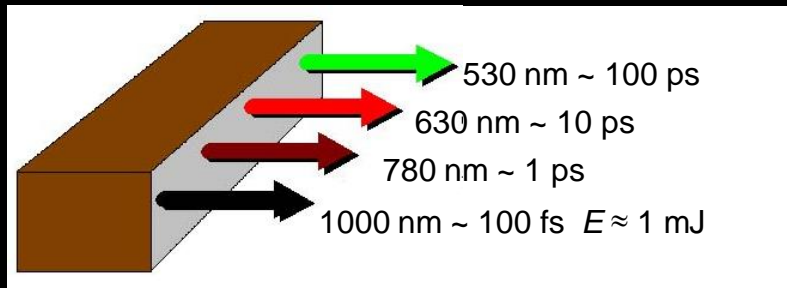
$I_{max} \sim 10^{16} \text{ W} \times \text{cm}^{-2} (\varnothing \approx 5 \mu\text{m})$
 $q = 1-10 \text{ TW}$

Компрессия импульса:
вынужденное рассеяние Мандельштама-Бриллюэна
вынужденное комбинационное рассеяние

T³ - ФЕМТОСЕКУНДНЫЕ ТЕРАВАТТНЫЕ ЛАЗЕРЫ

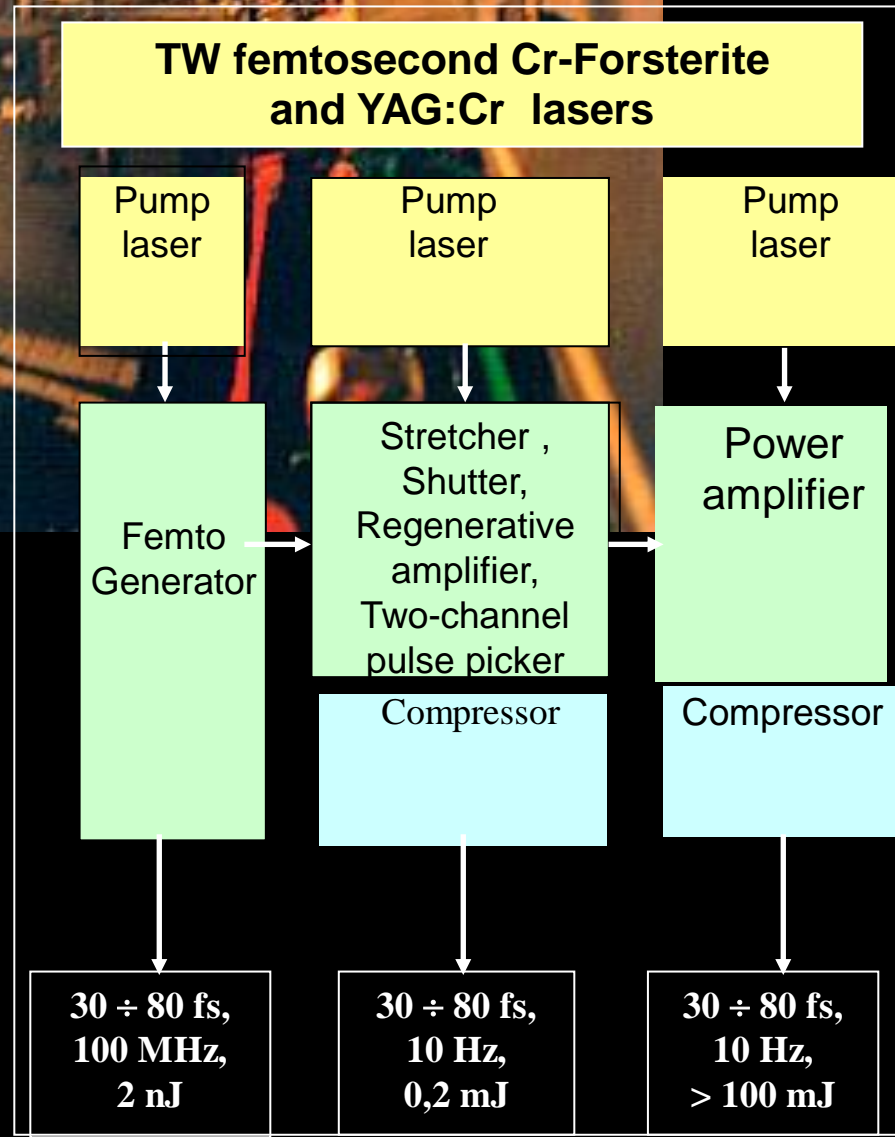
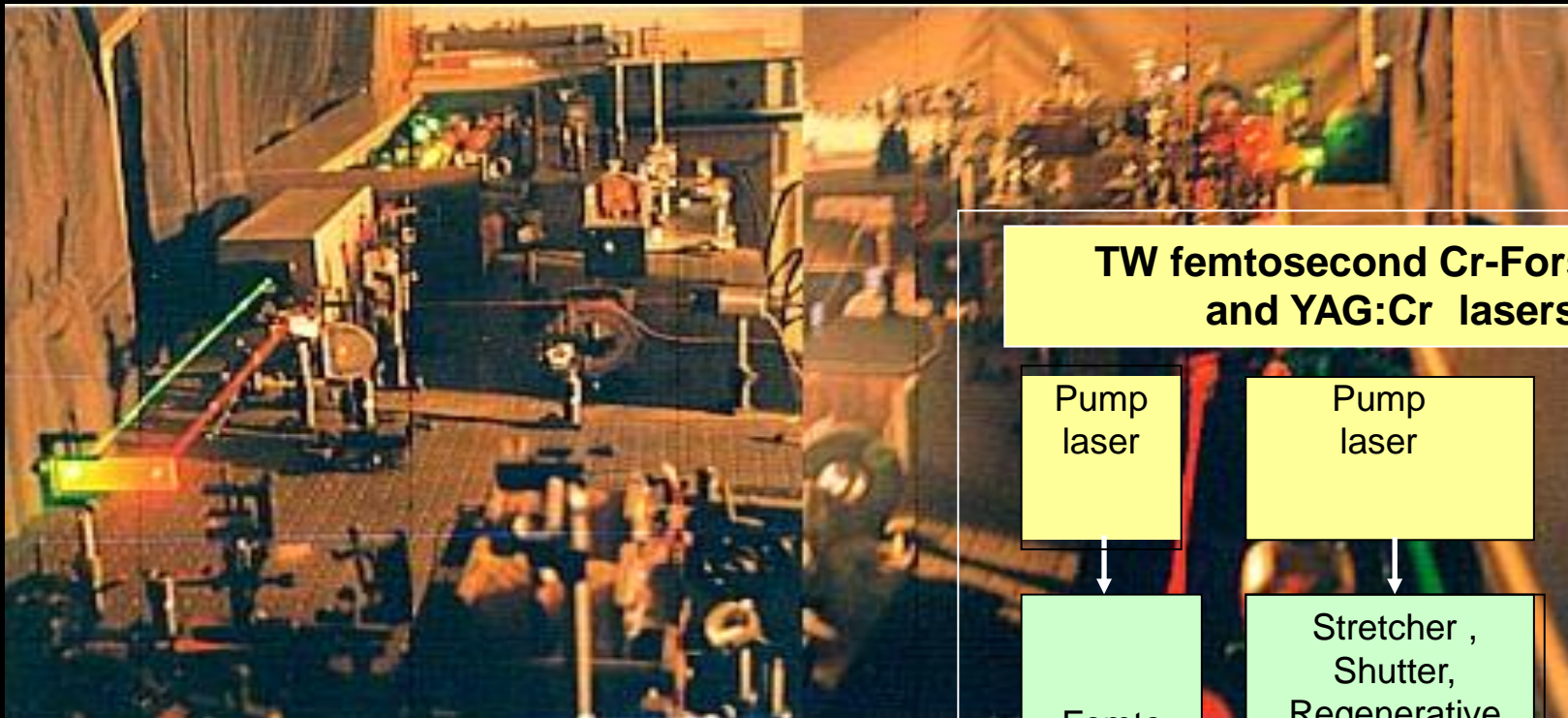


Компрессия импульса:
 вынужденное рассеяние Мандельштама-Бриллюэна
 вынужденное комбинационное рассеяние

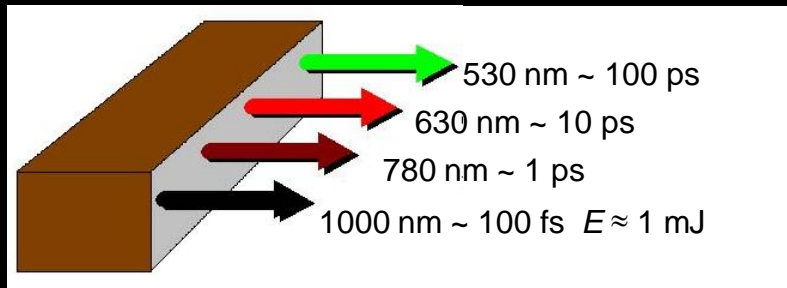


$$I_{max} \sim 10^{16} \text{ W} \times \text{cm}^{-2} (\varnothing \approx 5 \mu\text{m})$$

T³ - ФЕМТОСЕКУНДНЫЕ ТЕРАВАТТНЫЕ ЛАЗЕРЫ



Компрессия импульса:
 вынужденное рассеяние Мандельштама-Бриллюэна
 вынужденное комбинационное рассеяние



$$I_{max} \sim 10^{16} \text{ W} \times \text{cm}^{-2} (\varnothing \approx 5 \mu\text{m})$$

TW FEMTOSECOND CR:FORSTERITE LASER



$$\lambda = 1250 \text{ nm}$$

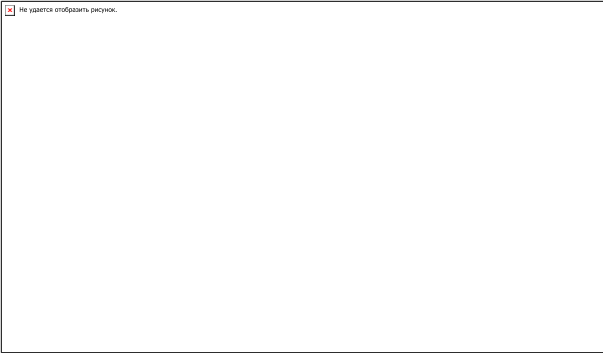
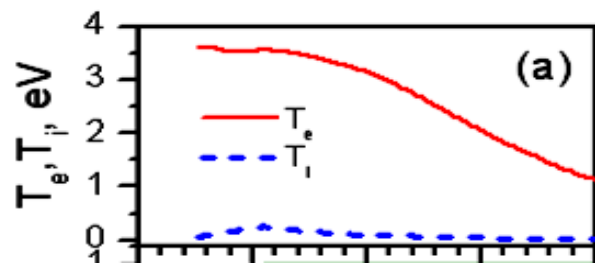
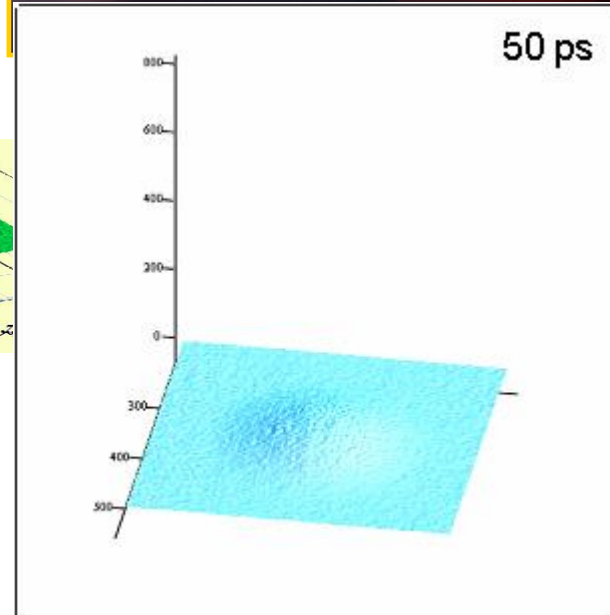
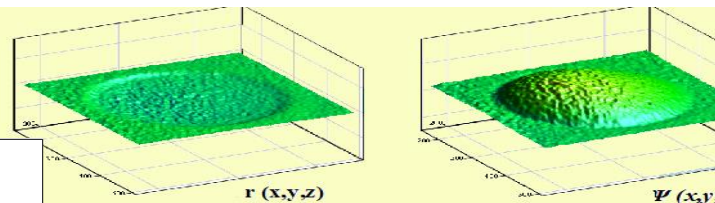
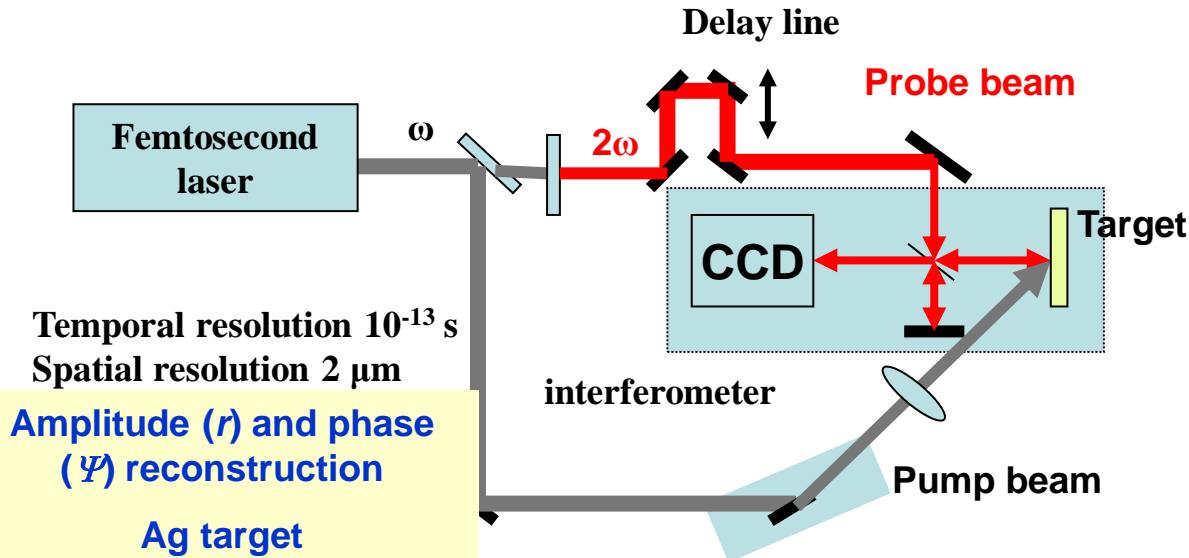
$$\tau < 100 \text{ fs}$$

$$E > 100 \text{ mJ}$$

$$W \sim 1 \div 10 \text{ TW}$$

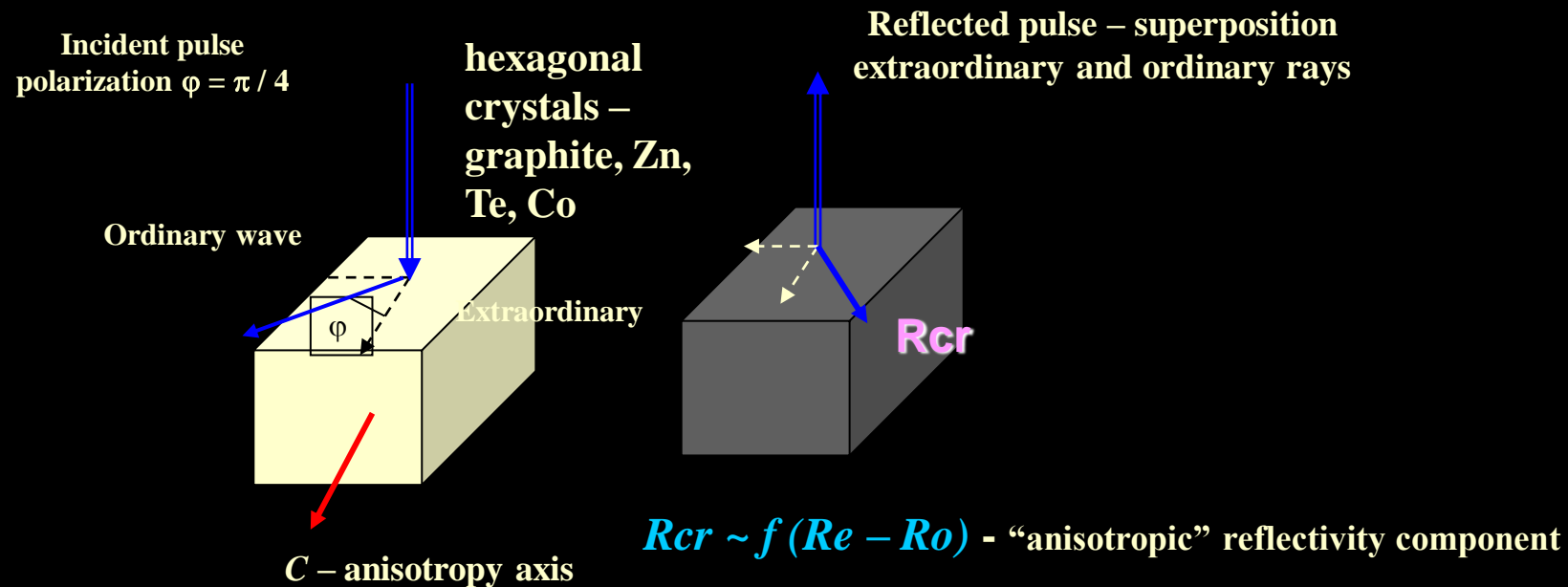
Фемтосекундная диагностика неидеальной плазмы при облучении твердой мишени фемтосекундным лазером

Femtosecond time-resolved interferometric microscopy



ULTRAFAST STRUCTURAL TRANSFORMATIONS OPTICAL ANISOTROPY

The optical anisotropy disappears, when the long-range order of crystalline structure disappears, (melting, amorphous state)

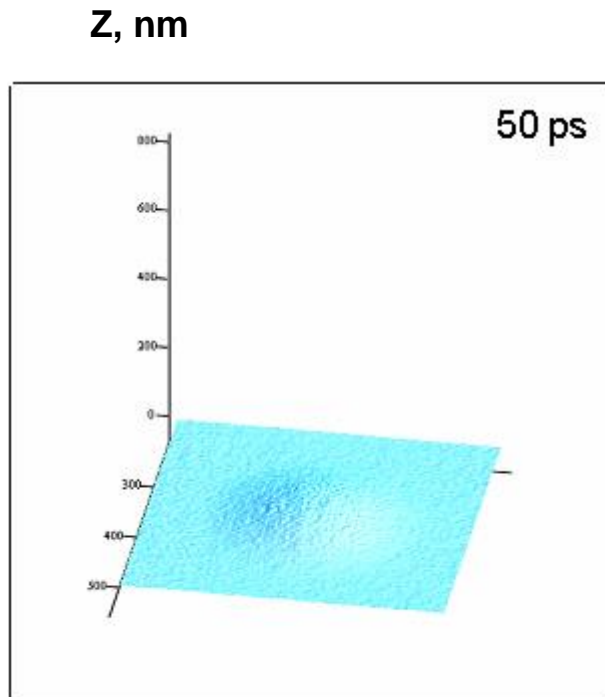


crystal structure $R_e \neq R_o$ $R_{cr} \sim f(R_e - R_o) \neq 0$

melting, amorphous state $R_e \approx R_o$ $R_{cr} \sim f(R_e - R_o) \rightarrow 0$

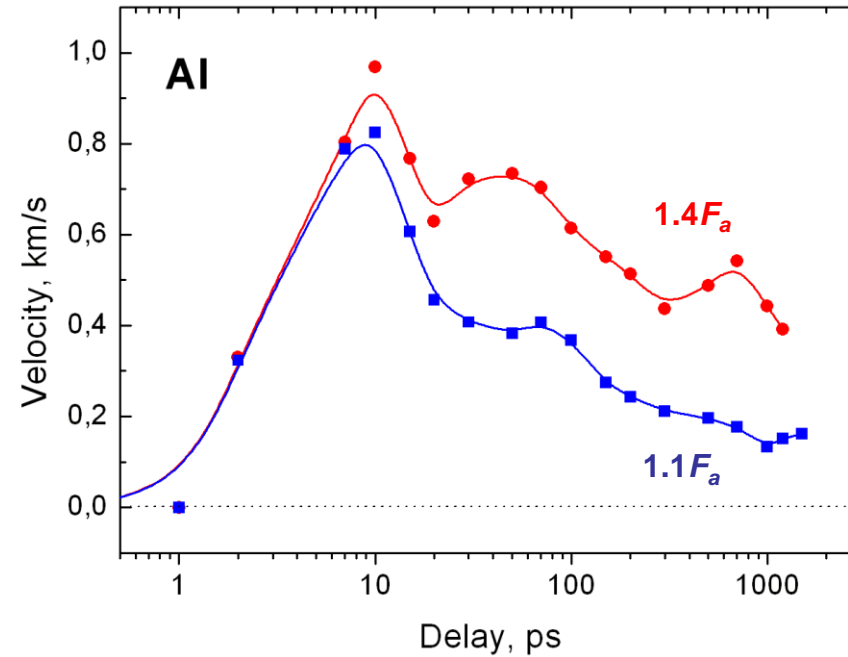
Dynamics of ablation

Femtosecond interferometry



Al target, $F_0 = 1.4 F_a$

$\tau_L = 100$ fs, $I = 10^{13}$ W/cm²

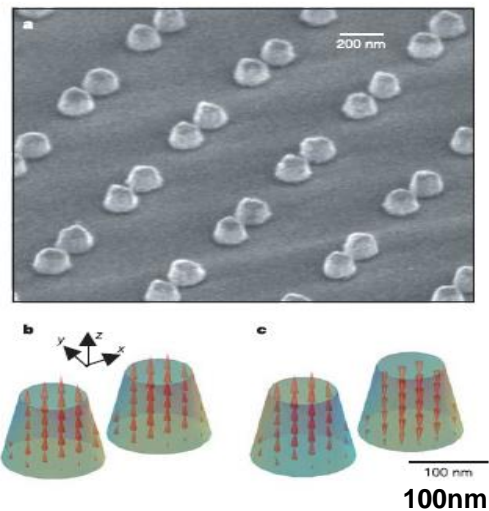
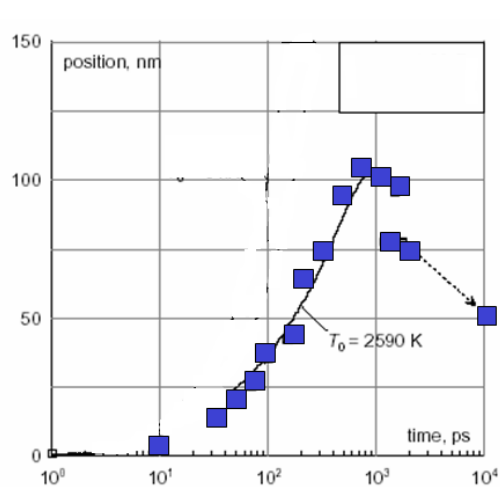


MD-modeling



$F = 1.1 F_a$

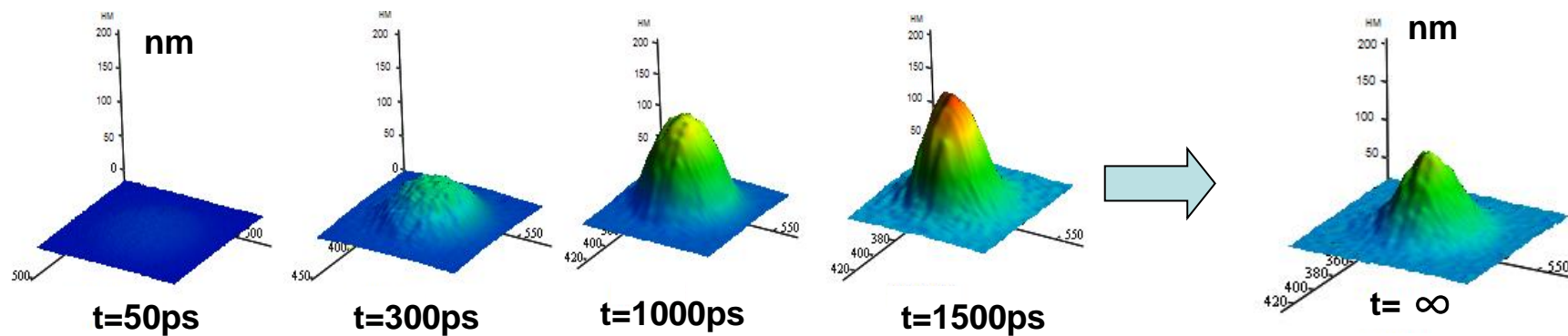
Deformation of metal surface under action of femtosecond pulses, creation of surface nanostructures.



Metamaterial for optical range of spectra
(nanostructured gold surface)
Nature, Vol 438|17 November 2005|doi:10.1038/nature04242

Dynamics of expansion of Al target surface near the ablation threshold ($F=0.95F_{abl}$; $\tau_L = 100\text{fs}$)

The residual surface deformation of Al

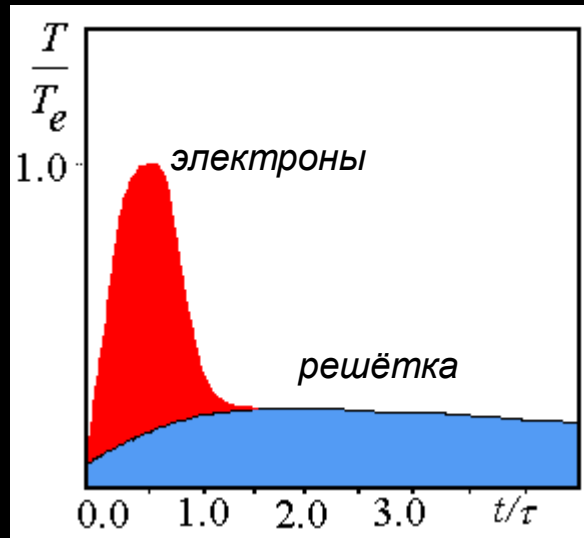


(ultrafast imaging interferometry measurements)

НЕРАВНОВЕСНЫЙ НАГРЕВ ЭЛЕКТРОНОВ, СПИНОВ И РЕШЕТКИ

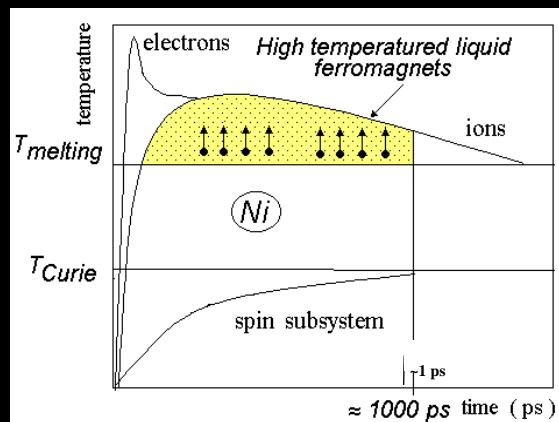
«Горячие» электроны - «холодная» решётка, гидродинамика

$\tau_{ef} \leq 10^{-12}$ с \longrightarrow Лазер: $\tau \sim 10^{-13} - 10^{-11}$ с, $I \sim 10^{10} - 10^{13}$ W·cm⁻²



Ag: $T_e \sim 4 \cdot 10^3$ K, $T_i < 1000$ K

Потеря оптической анизотропии
Кинетика: плавление Zn - < 3 пс
рекристаллизация < 100 пс

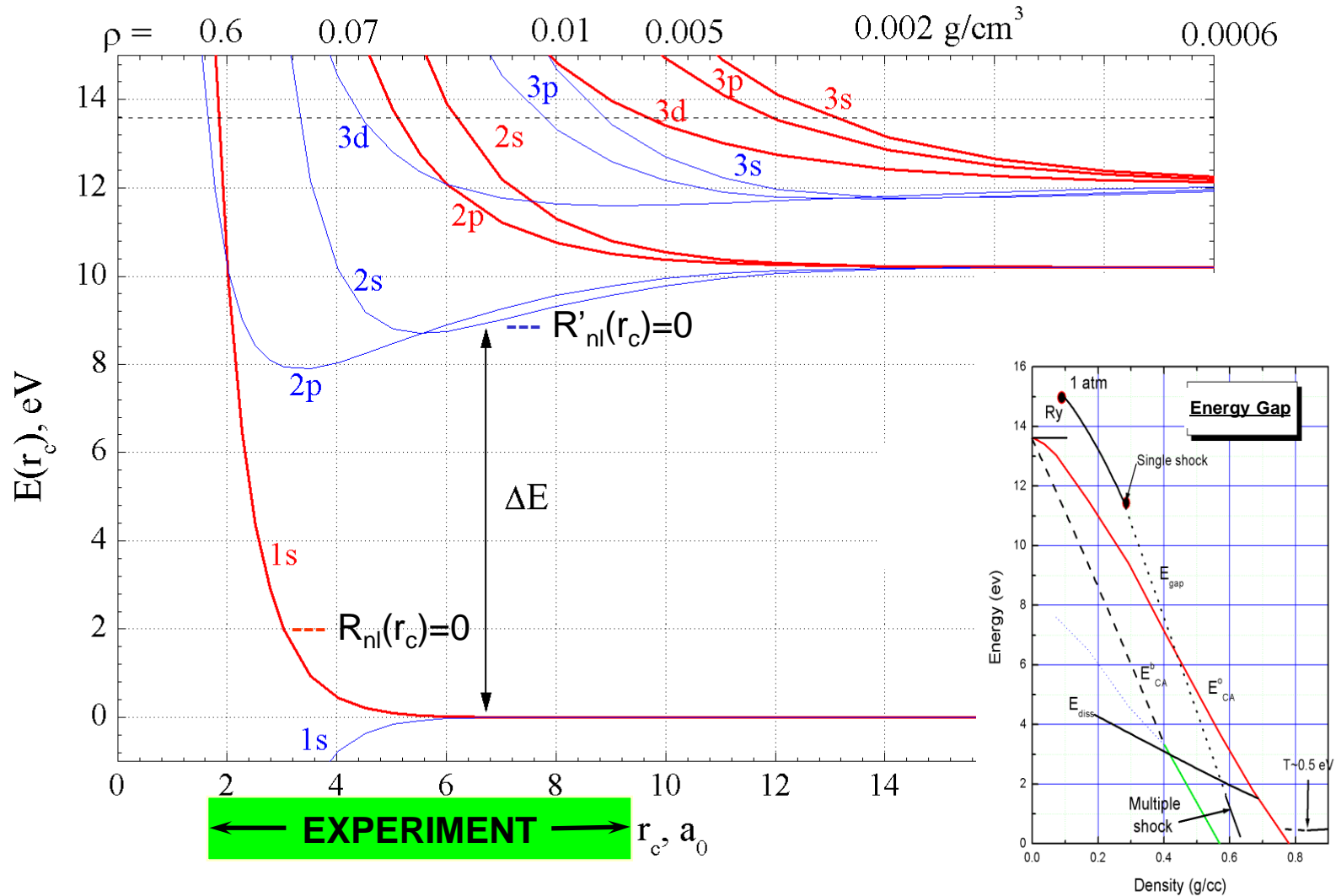


«Холодные» спины - «горячая» решётка

Высокотемпературный жидкий ферромагнетик (Ni)
время жизни $\sim 100 - 1000$ пс

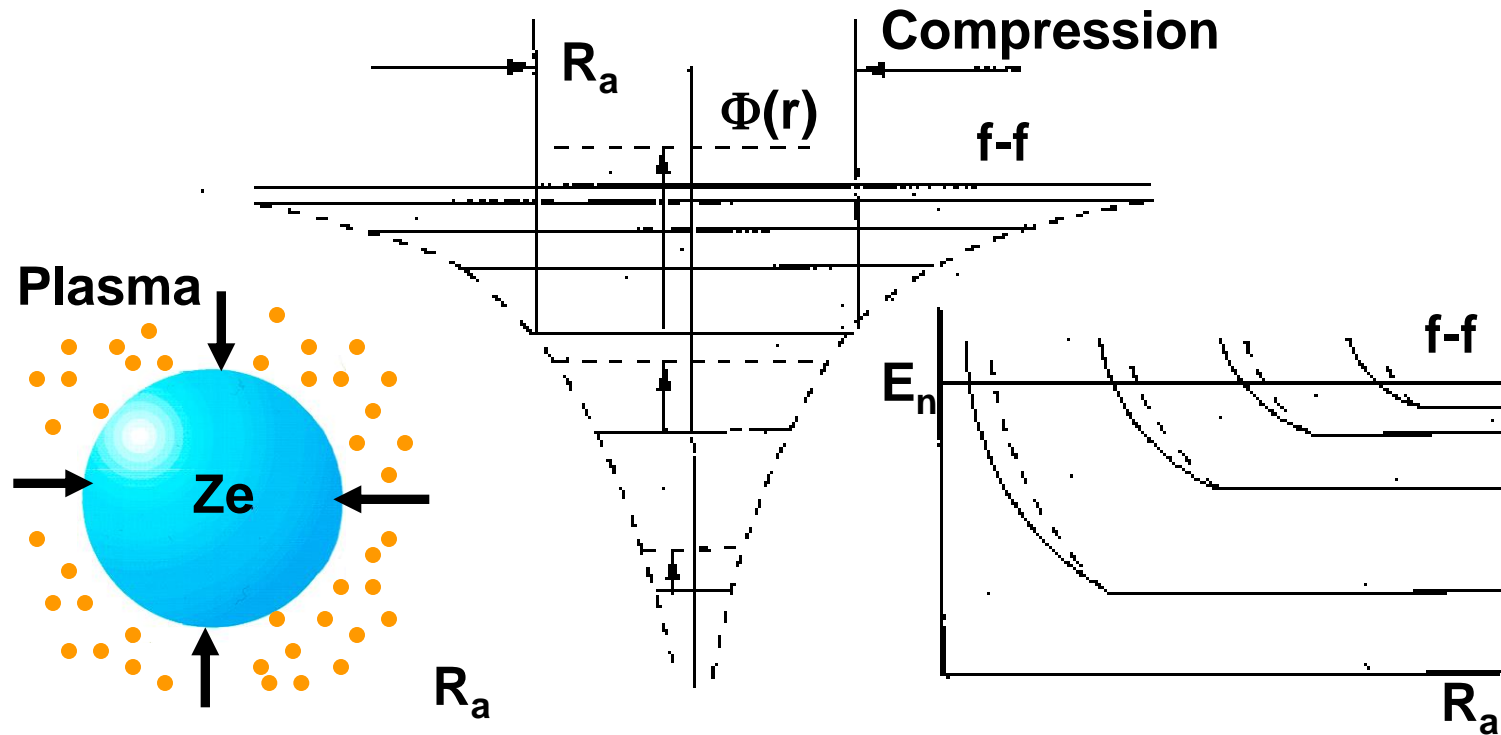
Реориентация спина ~ 1 пс (TbFeCo)

ELECTRONIC SPECTRUM OF COMPRESSED HYDROGEN

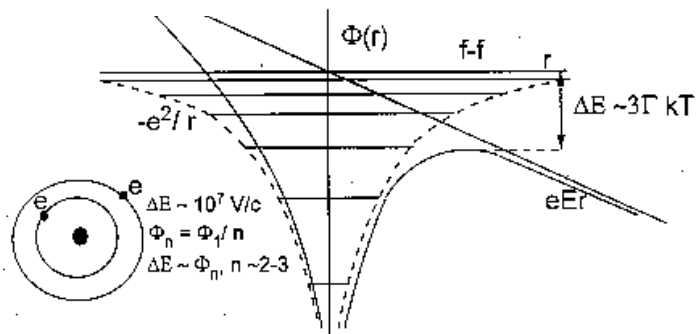


Electron States in compressed plasma

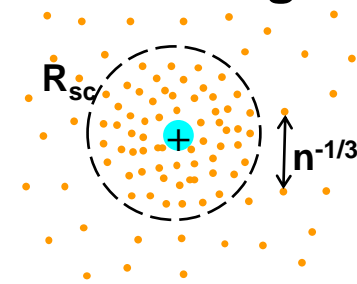
Pressure ionization



plasma microfields

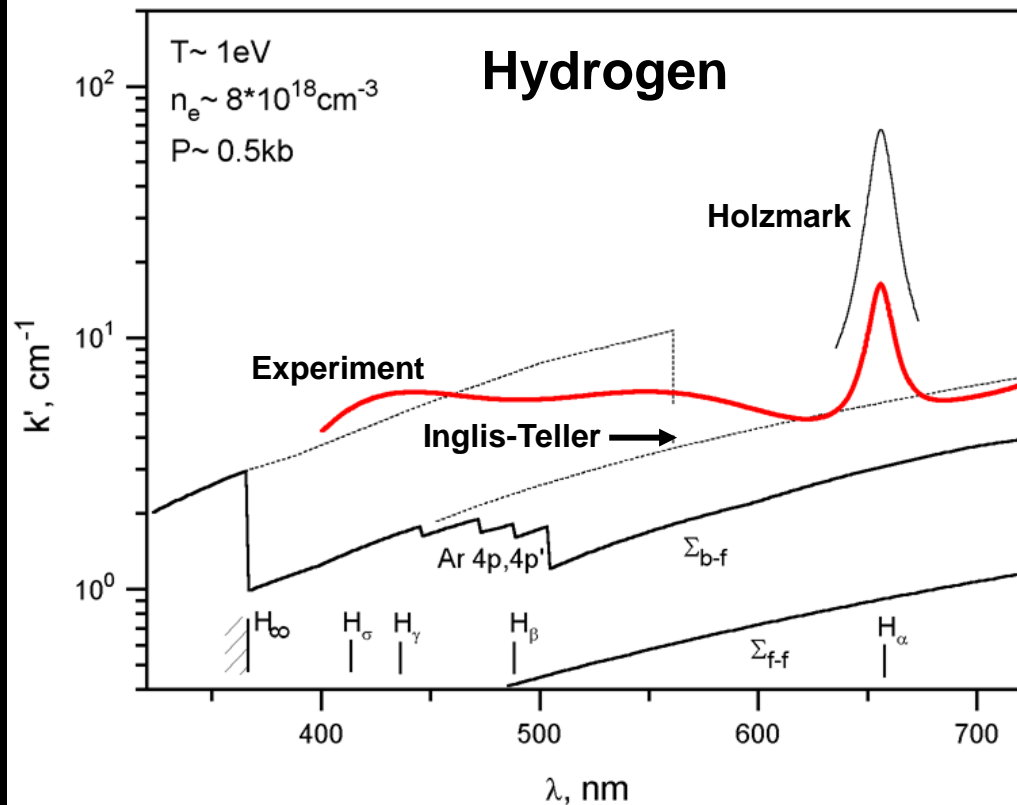
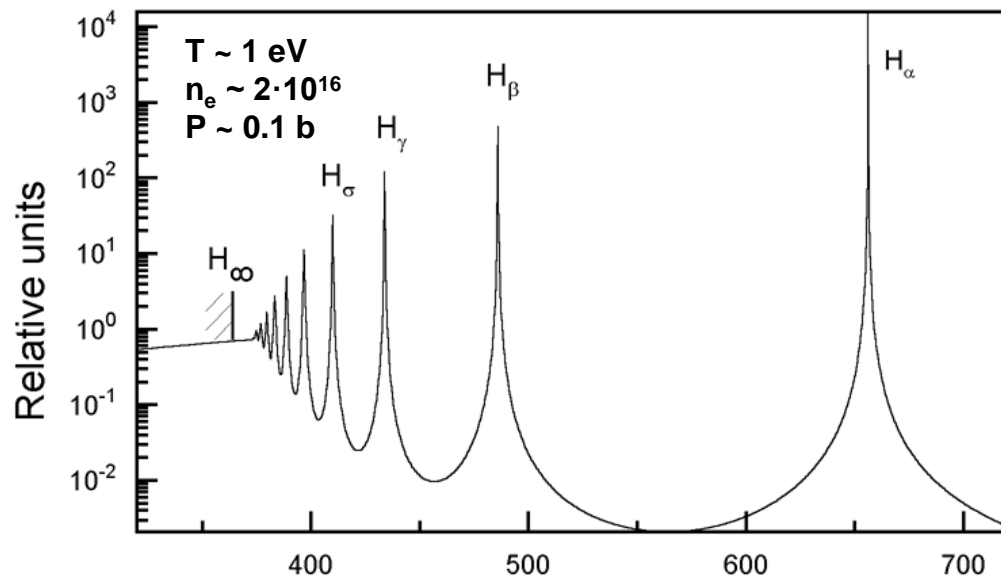


Screening



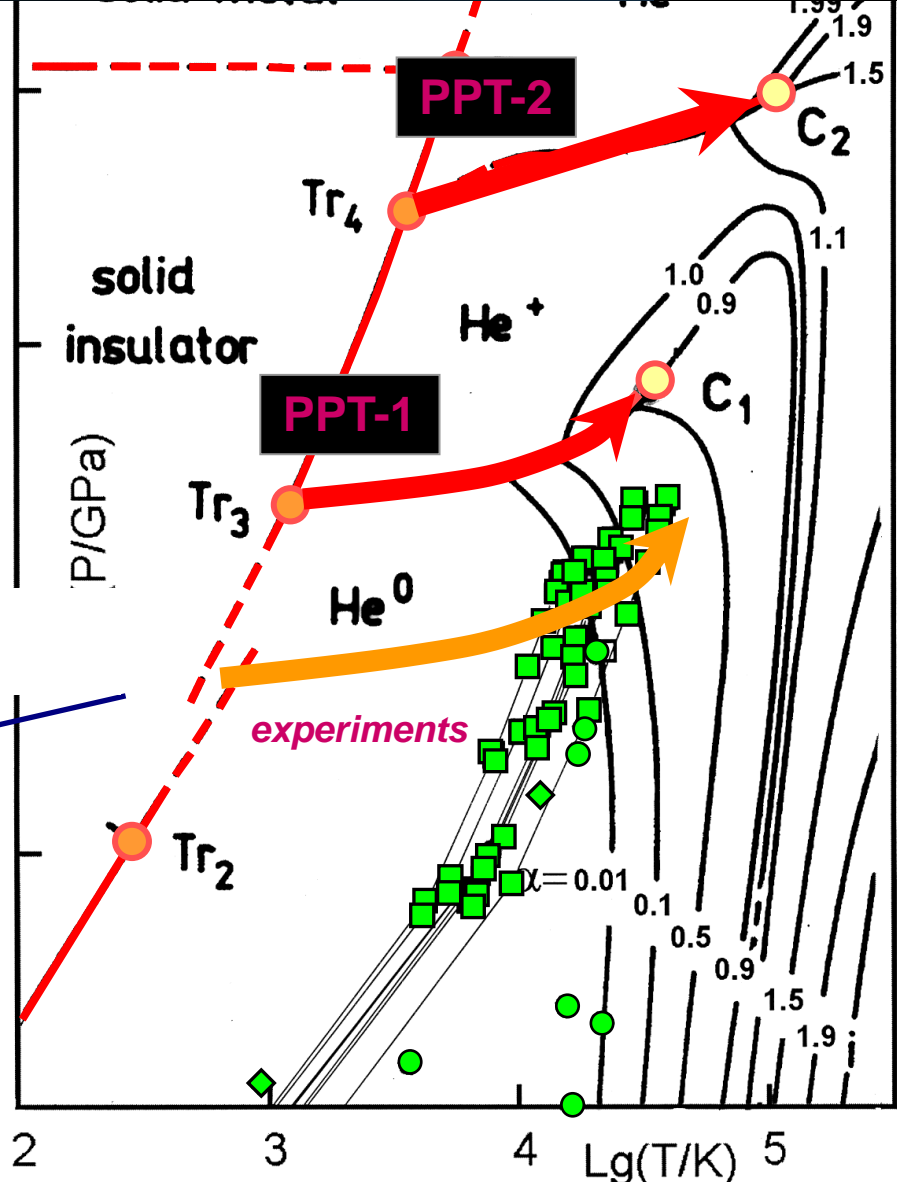
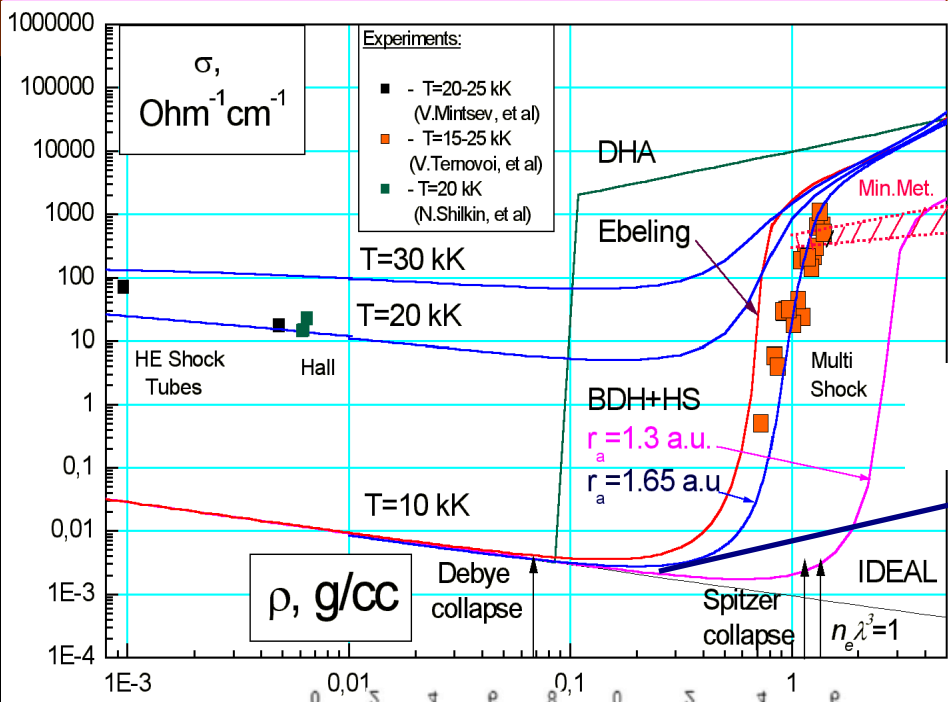
Wigner - Coulomb collapse

«РАСТВОРЕНИЕ» СПЕКТРАЛЬНЫХ ЛИНИЙ В НЕИДЕАЛЬНОЙ ПЛАЗМЕ

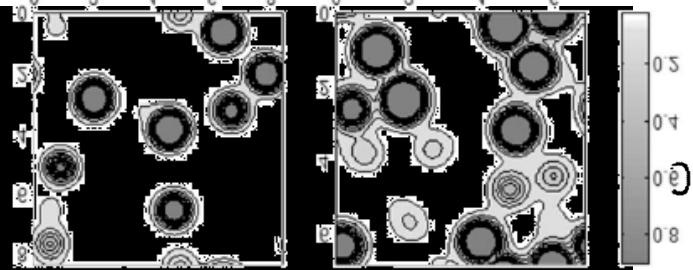




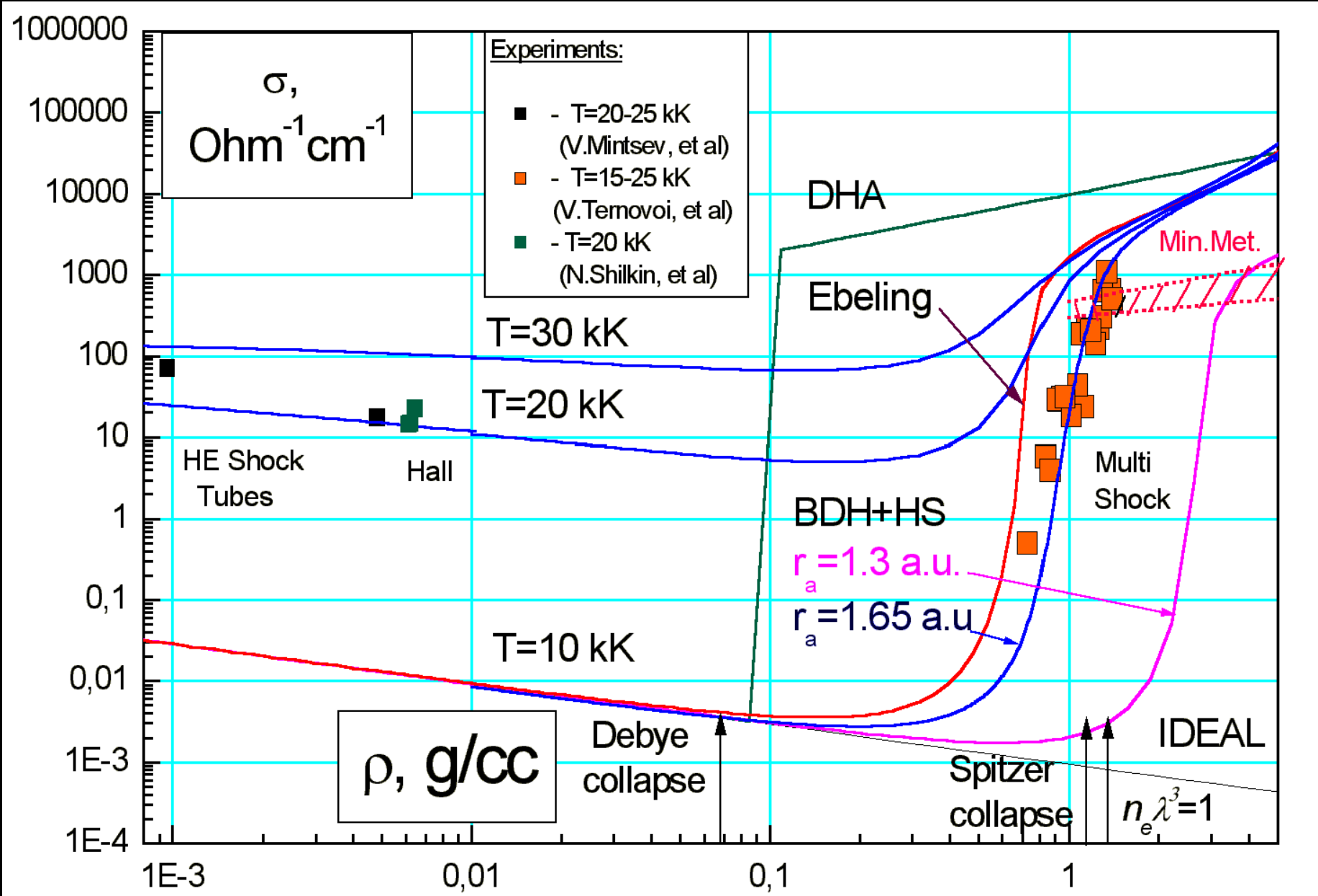
Plasma Phase Transition (transitions) in helium



A. Kietzmann,,
R. Redmer, et al
PRL(2007)

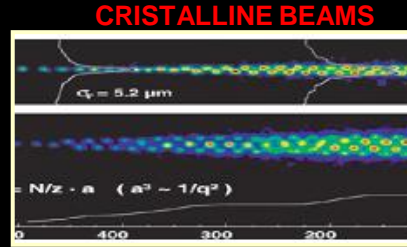


He CONDUCTIVITY

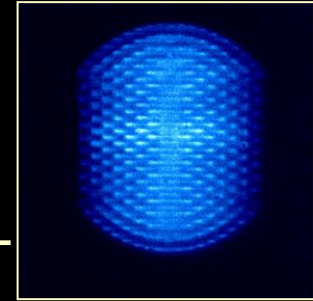


Плазменные фазовые переходы

- Кварк-глюонная плазма



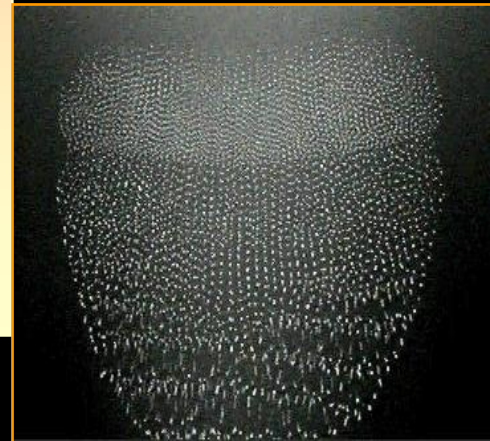
NONNEUTRAL PLASMA



рост

температуры,
беспорядка,
энтропии

DUSTY PLASMA CRYSTAL



• Плазма

• Неидеальная
плазма

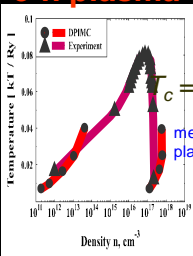
• Газ

• «Жидкая» плазма

• Жидкость

• «Кристаллическая»
плазма

e-h plasma



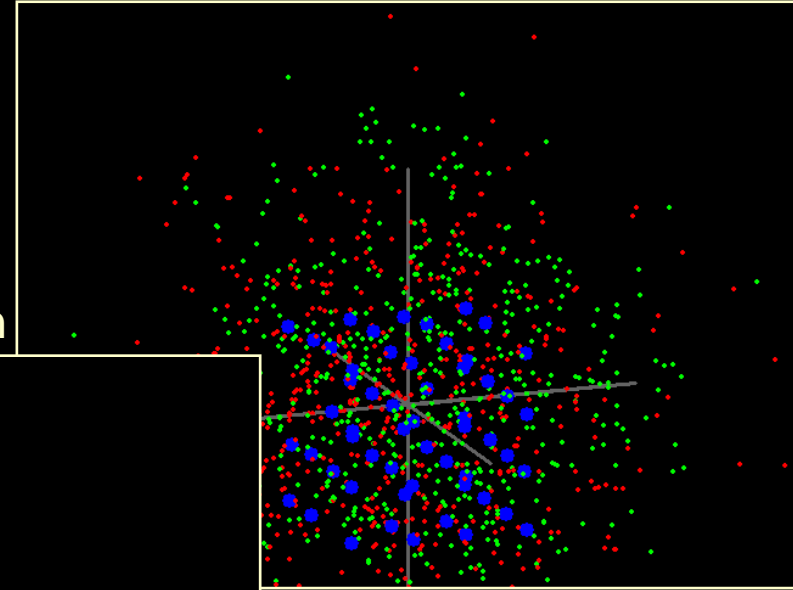
Кристалл

Водород: моделирование квантовым методом Монте-Карло

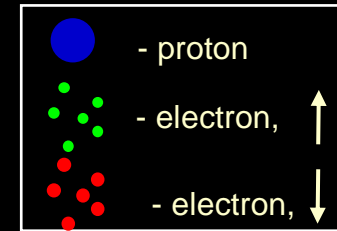
V. Filinov, M. Bonits, P. Levashov, V. Fortov
Phase Transition in Hydrogen Plasma
Pis'ma JETF (2001); *J. Phys.* (2003); *Phys. Rev. E* (2004)

DEUTERIUM PLASMA PHASE TRANSITIONS

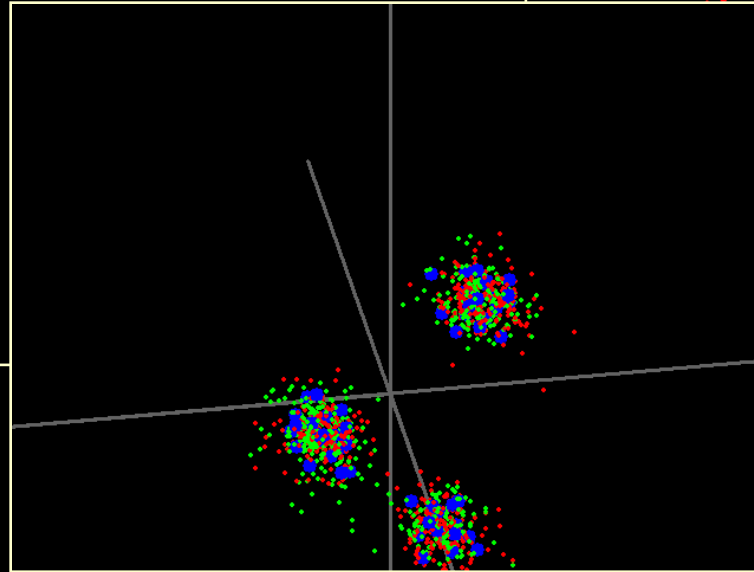
Protons ordering



$n = 3 \cdot 10^{25} \text{ cm}^{-3}$, $\rho = 50.2 \text{ g/cm}^3$

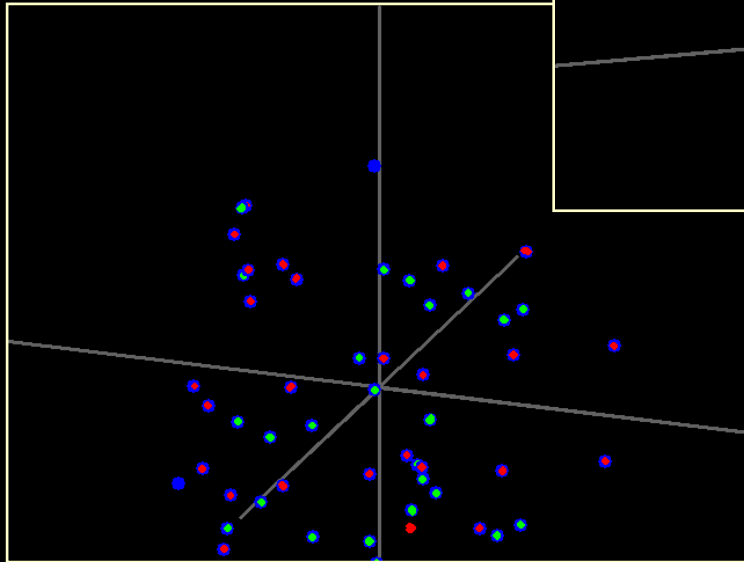


Plasma phase transition



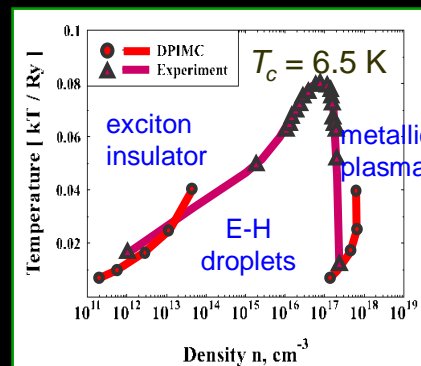
$n = 3 \cdot 10^{22} \text{ cm}^{-3}$, $\rho = 0.05 \text{ g/cm}^3$

Dissociation

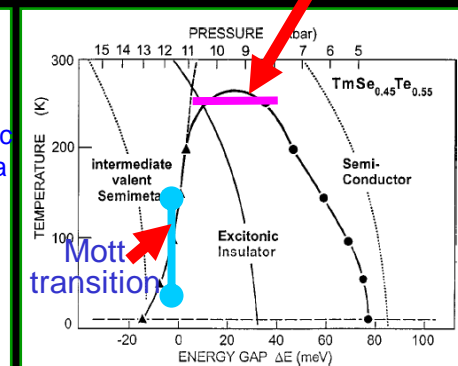


$n = 10^{18} \text{ cm}^{-3}$, $\rho = 1.67 \cdot 10^{-6} \text{ g/cm}^3$, $T = 10000 \text{ K}$

Ge



$\text{TmSe}_{0.45}\text{Te}_{0.55}$ Temperature ionization

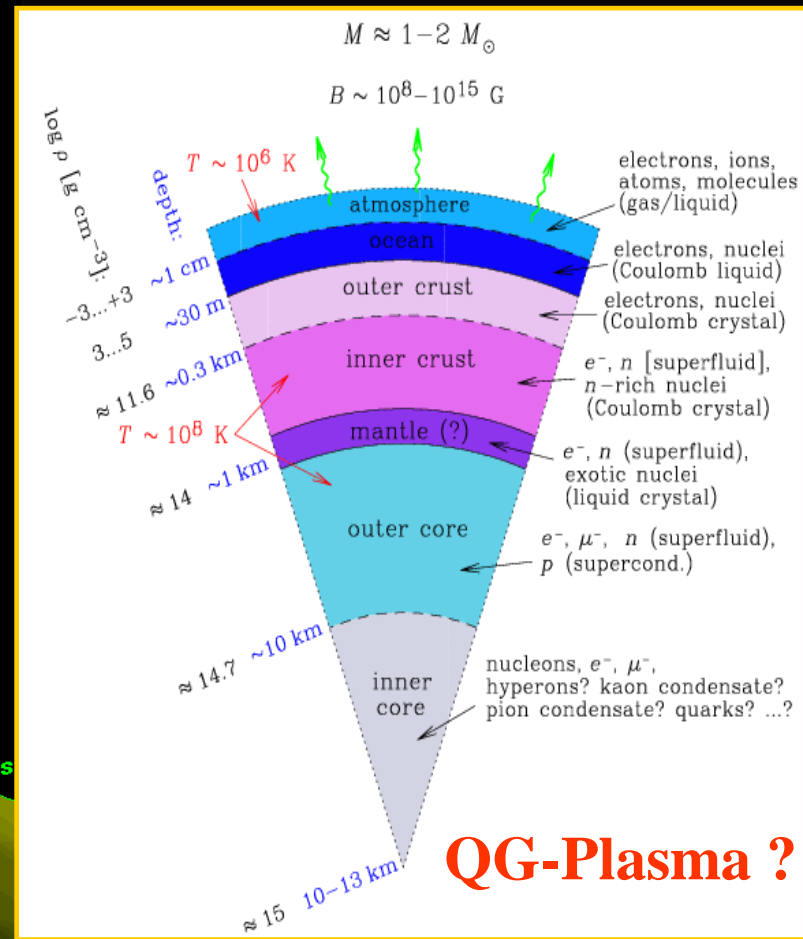
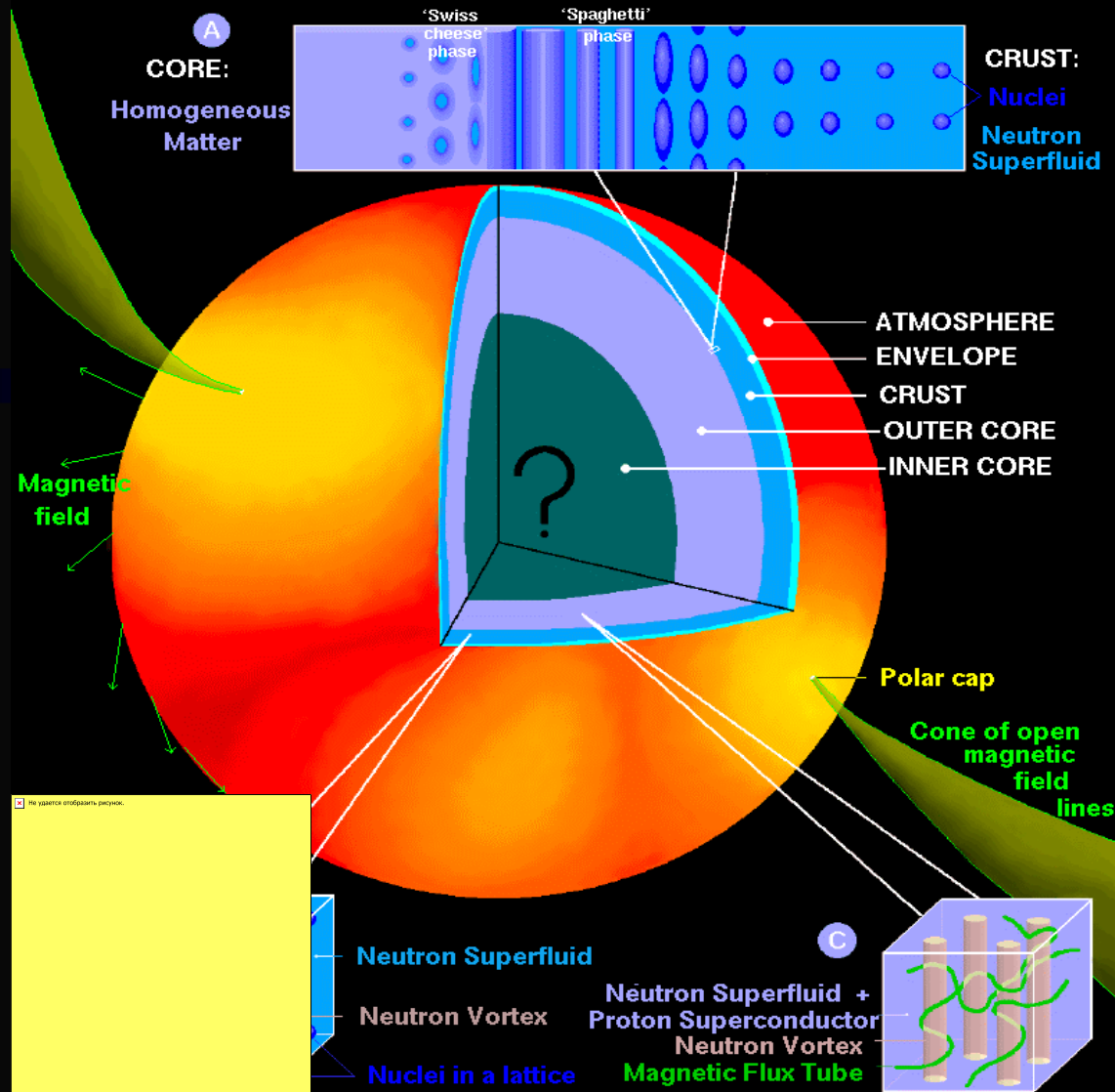




СТРУКТУРА НЕЙТРОННОЙ ЗВЕЗДЫ

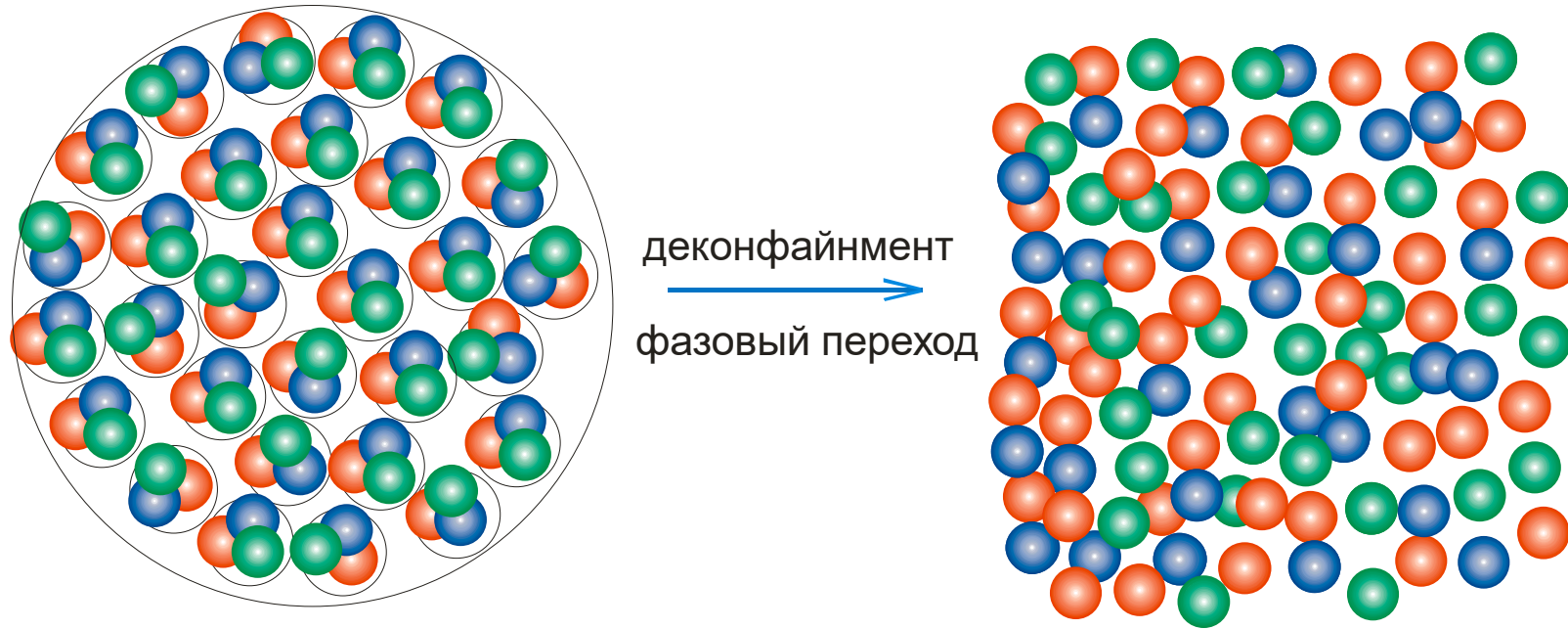
A NEUTRON STAR: SURFACE and INTERIOR

10^8 - 10^{11} K, 10^{14} - $5 \cdot 10^{15}$ g/cc, 10^{25} - 10^{27} Bar



(credit: Dany Page)

Образование кварк-глюонной плазмы



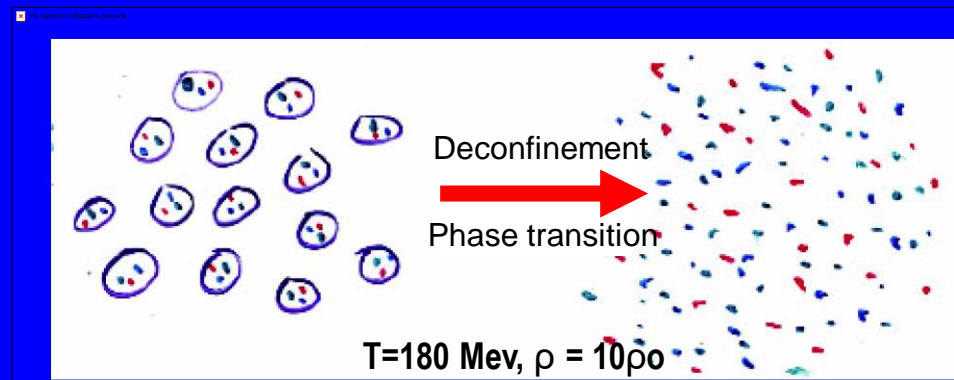
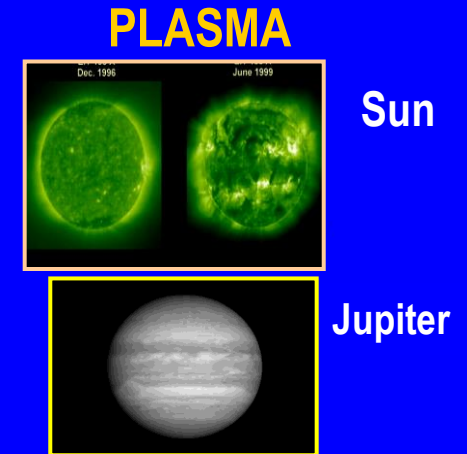
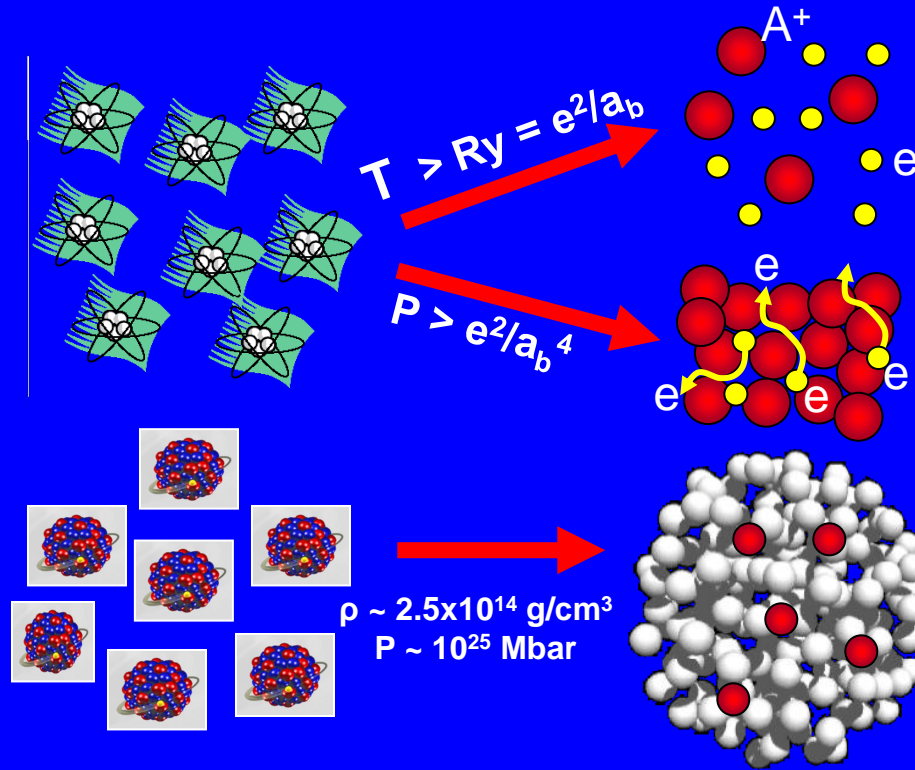
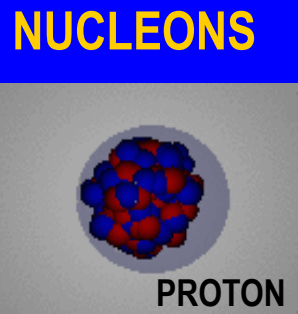
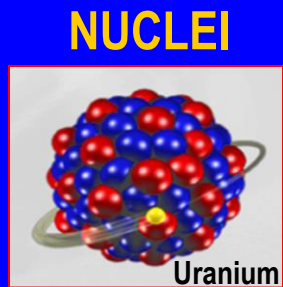
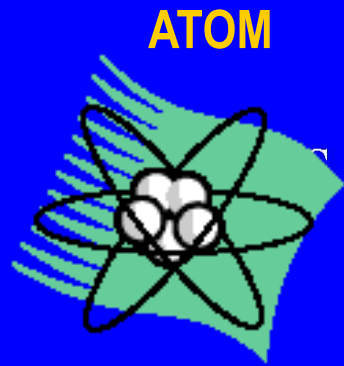
Deconfinement transition similar to Mott transition (insulator/conductor):

Electron concentration low \rightarrow weak screening of ion potential
 \rightarrow electrons bound in atoms \rightarrow insulator (nucleus)

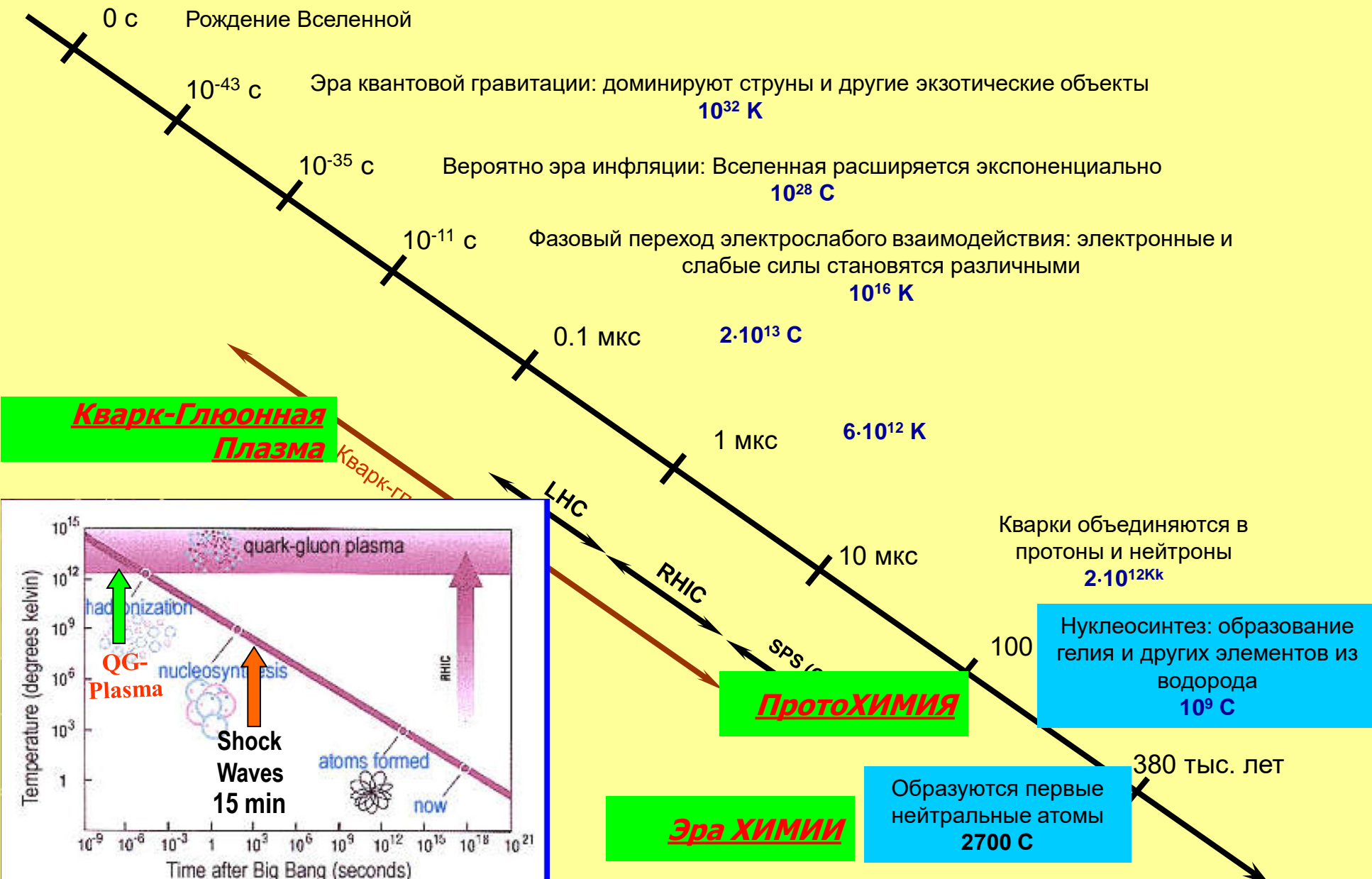
Electron concentration high \rightarrow strong screening of ion potential
 \rightarrow free electrons \rightarrow conductor (QGP = color conductor)

Example: metallic hydrogen in Jupiter

НОВЫЕ СОСТОЯНИЯ ВЕЩЕСТВА ПРИ СЖАТИИ



КОСМИЧЕСКАЯ ШКАЛА ВРЕМЕНИ. РАСШИРЕНИЕ ВСЕЛЕННОЙ ПОСЛЕ БОЛЬШОГО ВЗРЫВА



Кварк-Глюонная Плазма

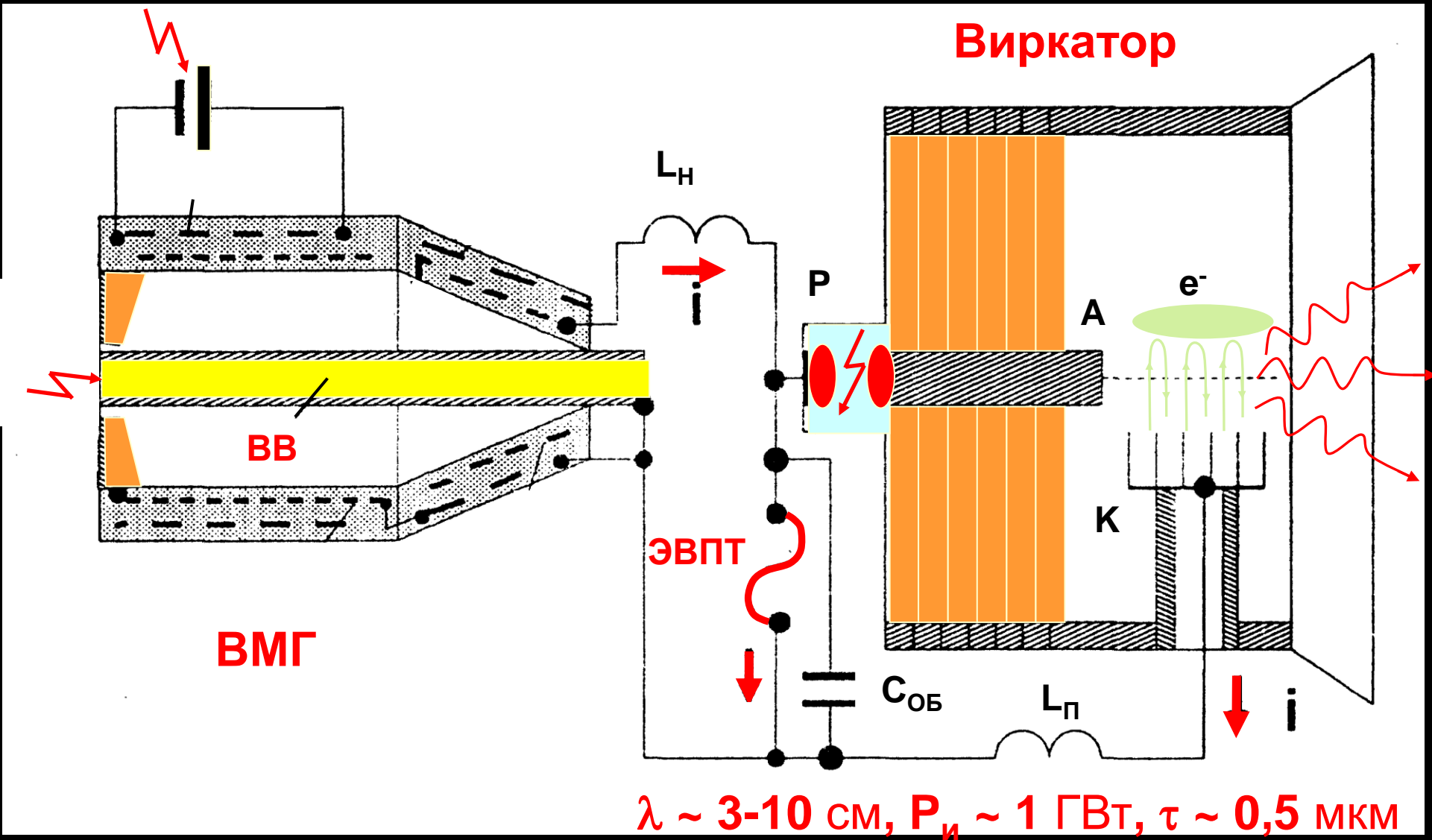
ПротоХИМИЯ

Эра ХИМИИ

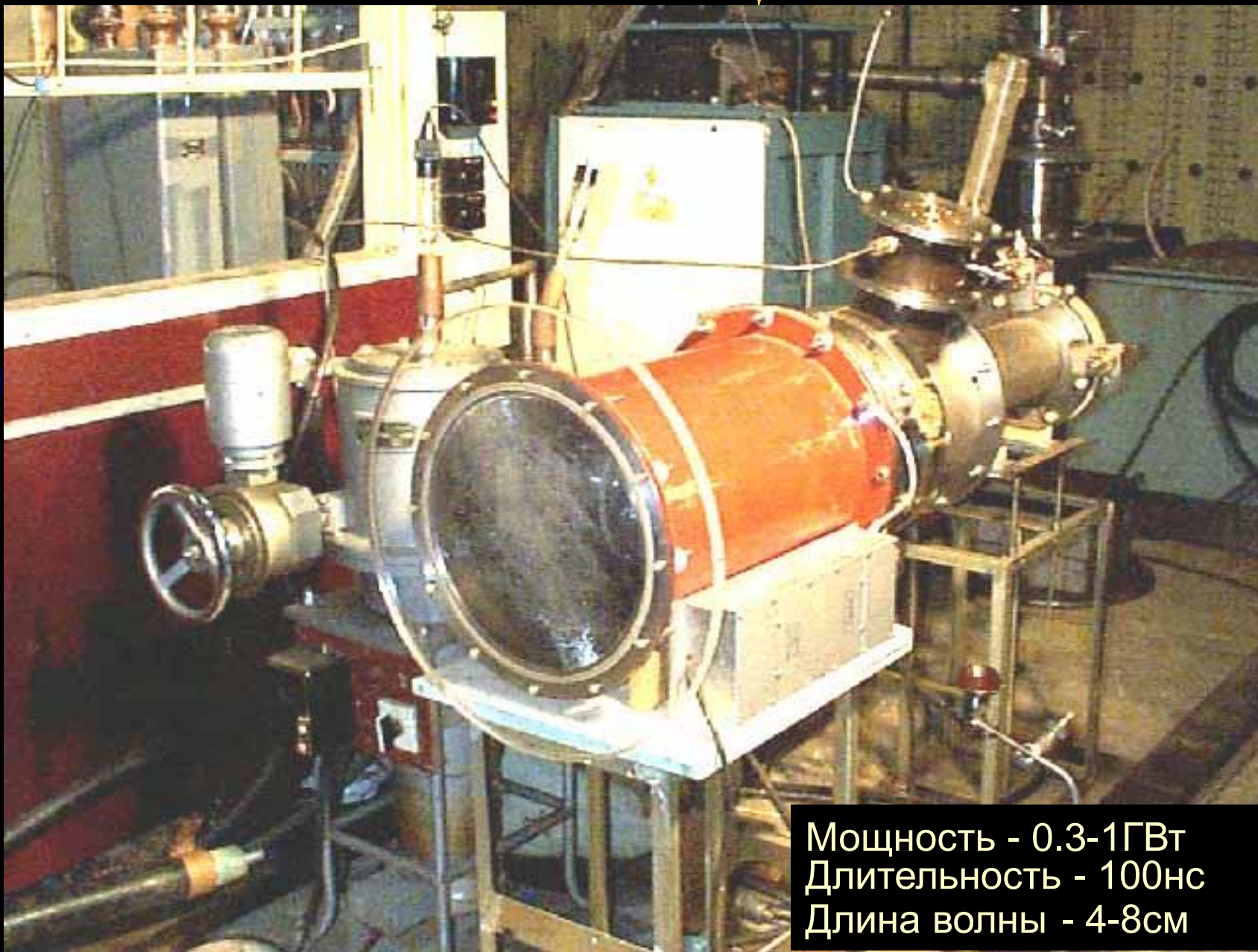
Нуклеосинтез: образование гелия и других элементов из водорода 10^9 C

Образуются первые нейтральные атомы 2700 C

ВЗРЫВНОЙ СВЧ-ИЗЛУЧАТЕЛЬ



МОЩНЫЙ ВИРКАТОР



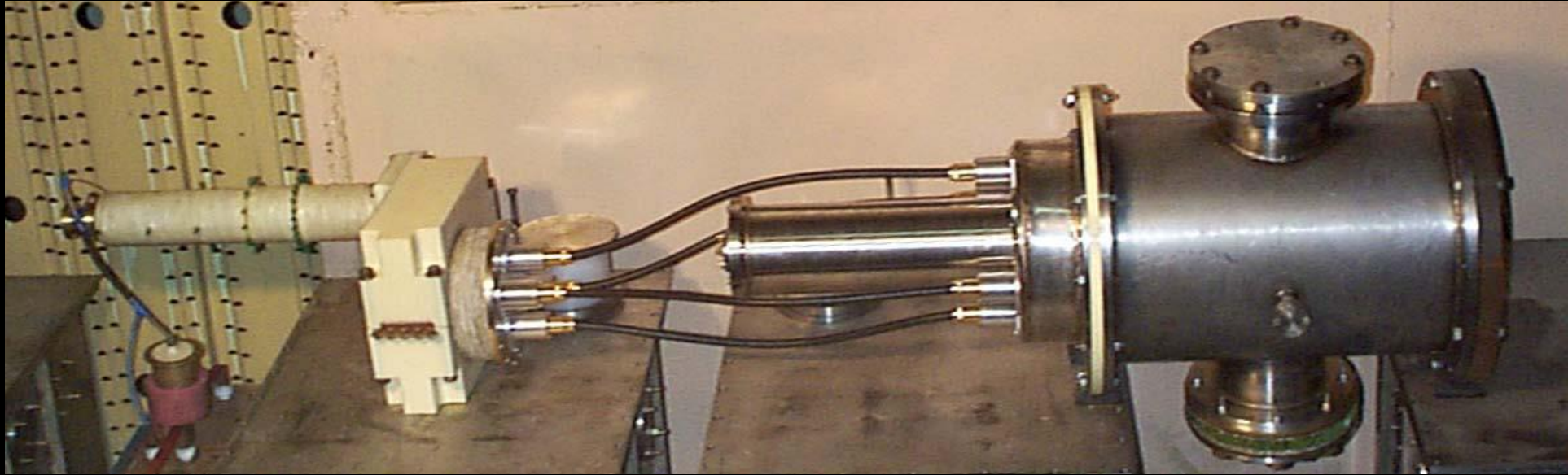
Мощность - 0.3-1ГВт
Длительность - 100нс
Длина волны - 4-8см

ВЗРЫВОМАГНИТНЫЕ ГЕНЕРАТОРЫ

- масса ВВ 0,1...1,0 кг
- энергия 5...1000 кДж
- мощность 8...12 ГВт



АВТОНОМНЫЙ ВЗРЫВНОЙ ГЕНЕРАТОР МОЩНОГО СВЧ-ИЗЛУЧЕНИЯ



- пиковая мощность ~ 1 ГВт
- длительн. имп. 0,1-0,5 мкс
- частота изл. 3...10 ГГц
- длина 1,5 м
- диаметр 0,4 м



Спасибо!